



## ZADÁNÍ DIPLOMOVÉ PRÁCE

<b>Název:</b>	ídící systém a p eklada pracující v reálném ase pro pokro ilou ídící jednotku lineárního motoru
<b>Student:</b>	Bc. František Žemli ka
<b>Vedoucí:</b>	Ing. Mat j Bartík
<b>Studijní program:</b>	Informatika
<b>Studijní obor:</b>	Webové a softwarové inženýrství
<b>Katedra:</b>	Katedra softwarového inženýrství
<b>Platnost zadání:</b>	Do konce zimního semestru 2017/18

### Pokyny pro vypracování

Seznamte se s realizovaným systémem ídící jednotky, komunika ním protokolem a podporovanými instrukcemi. Navrhn te aplikaci (aplikace), která bude umož ůovat vytvá ení uživatelských program ů pro ídící jednotku v grafickém prost edí a bude komunikovat s ídící jednotkou. Navrhn te možnost, jak pohyb motoru vizualizovat/simulovat. Tato aplikace by m la umožnit ukládání a na ítání program ů lineárního motoru pro ů ely opakovaných experimentálních m ení.

Funk ní požadavky:

- Tvorba program ů pro obsluhu motoru na základ ů p edvypo ítané trajektorie nebo možnost pohyb naprogramovat z jednotlivých krok ů .
- Ukládání, na ítání, editování a spojování existujících program ů .
- Vizualizace pohybu/stavu motoru a/nebo možnost program ů simulovat.

Nefunk ní požadavky:

- Aplikace bude komunikovat s ídící jednotkou po sériové lince.

### Seznam odborné literatury

Dodá vedoucí práce.

L.S.

Ing. Michal Valenta, Ph.D.  
vedoucí katedry

prof. Ing. Pavel Tvrdík, CSc.  
d kan

V Praze dne 24. února 2016



ČESKÉ VYSOKÉ UČENÍ TECHNICKÉ V PRAZE  
FAKULTA INFORMAČNÍCH TECHNOLOGIÍ  
KATEDRA SOFTWAREVÉHO INŽENÝRSTVÍ



Diplomová práce

**Řídicí systém a překladač pracující  
v reálném čase pro pokročilou řídicí  
jednotku lineárního motoru**

*Bc. František Žemlička*

Vedoucí práce: Ing. Matěj Bartík

9. května 2016



---

## Poděkování

Děkuji Ing. Bartíkovi za vedení této práce a mé kamarádce Evě za její korekturu. A především děkuji své rodině za podporu během let studia.



---

## Prohlášení

Prohlašuji, že jsem předloženou práci vypracoval(a) samostatně a že jsem uvedl(a) veškeré použité informační zdroje v souladu s Metodickým pokynem o etické přípravě vysokoškolských závěrečných prací.

Beru na vědomí, že se na moji práci vztahují práva a povinnosti vyplývající ze zákona č. 121/2000 Sb., autorského zákona, ve znění pozdějších předpisů. V souladu s ust. § 46 odst. 6 tohoto zákona tímto uděluji nevýhradní oprávnění (licenci) k užití této mojí práce, a to včetně všech počítačových programů, jež jsou její součástí či přílohou, a veškeré jejich dokumentace (dále souhrnně jen „Dílo“), a to všem osobám, které si přejí Dílo užít. Tyto osoby jsou oprávněny Dílo užít jakýmkoli způsobem, který nesnižuje hodnotu Díla, a za jakýmkoli účelem (včetně užití k výdělečným účelům). Toto oprávnění je časově, teritoriálně i množstevně neomezené. Každá osoba, která využije výše uvedenou licenci, se však zavazuje udělit ke každému dílu, které vznikne (byť jen zčásti) na základě Díla, úpravou Díla, spojením Díla s jiným dílem, zařazením Díla do díla souborného či zpracováním Díla (včetně překladu), licenci alespoň ve výše uvedeném rozsahu a zároveň zpřístupnit zdrojový kód takového díla alespoň srovnatelným způsobem a ve srovnatelném rozsahu, jako je zpřístupněn zdrojový kód Díla.

V Řitce dne 9. května 2016

.....

České vysoké učení technické v Praze  
Fakulta informačních technologií

© 2016 František Žemlička. Všechna práva vyhrazena.

*Tato práce vznikla jako školní dílo na Českém vysokém učení technickém v Praze, Fakultě informačních technologií. Práce je chráněna právními předpisy a mezinárodními úmluvami o právu autorském a právech souvisejících s právem autorským. K jejímu užití, s výjimkou bezúplatných zákonných licencí, je nezbytný souhlas autora.*

### **Odkaz na tuto práci**

Žemlička, František. *Řídicí systém a překladač pracující v reálném čase pro pokročilou řídicí jednotku lineárního motoru*. Diplomová práce. Praha: České vysoké učení technické v Praze, Fakulta informačních technologií, 2016.



---

# Abstrakt

Tato práce se zabývá analýzou chování lineárního motoru EZ Limo EZC6E030M-C a jeho nové řídicí jednotky na FPGA čipu. Dále popisuje návrh, implementaci a testování desktopové ovládací aplikace, která umožňuje s jednotkou komunikovat a zadávat pro ní programy v grafickém prostředí.

**Klíčová slova** Lineární motor, řídicí jednotka, sériový port, C++, Qt

---

# Abstract

This thesis analyzes the behavior of the linear motor EZ Limo EZC6E030M-C and its new controller implemented on FPGA chip. It also describes the design, implementation and testing of desktop control application that lets user communicate with unit and input its programs in graphical environment.

**Keywords** Linear motor, control unit, serial port, C++, Qt



---

# Obsah

Odkaz na tuto práci . . . . .	viii
<b>Úvod</b>	<b>1</b>
<b>1 Analýza</b>	<b>3</b>
1.1 Cíl práce . . . . .	3
1.2 Stav v době zahájení práce . . . . .	3
1.3 Funkční požadavky . . . . .	3
1.3.1 Základní požadavky . . . . .	3
1.3.2 Zadávání a editace modelů . . . . .	4
1.3.3 Zobrazení stavových informací a průběhu . . . . .	4
1.3.4 Nastavení řídicí jednotky . . . . .	4
1.3.5 Lineární motor EZ Limo EZC6E030M-C . . . . .	4
1.4 Řídicí jednotka . . . . .	5
1.4.1 Obecný popis . . . . .	5
1.4.2 Komunikační rozhraní . . . . .	5
1.4.3 Instrukční sada . . . . .	7
1.4.3.1 Obecný popis . . . . .	7
1.4.3.2 Instrukce MOVE a WAIT . . . . .	7
1.4.3.3 Prioritní instrukce . . . . .	8
1.4.4 Instrukční cyklus . . . . .	8
1.4.4.1 Časování instrukcí . . . . .	8
1.4.5 Odezvy a události generované jednotkou . . . . .	10
<b>2 Návrh</b>	<b>13</b>
2.1 Rozbor funkčních požadavků vzhledem k vlastnostem motoru a řídicí jednotky . . . . .	13
2.1.1 Zadávání a editace průběhů . . . . .	13
2.1.2 Zobrazení stavových informací . . . . .	14
2.1.3 Reakce na události . . . . .	14

2.1.4	Nastavení parametrů jednotky . . . . .	16
2.1.5	Odesílání instrukcí . . . . .	16
2.2	Výběr programovacího jazyka a knihoven . . . . .	17
2.2.1	Java a její knihovny . . . . .	17
2.2.2	C# a jeho knihovny . . . . .	18
2.2.3	C++ a jeho knihovny . . . . .	18
2.2.3.1	Boost . . . . .	18
2.2.3.2	wxWidgets . . . . .	19
2.2.3.3	Qt . . . . .	19
2.2.4	Závěr . . . . .	19
2.3	Architektura aplikace . . . . .	19
2.3.1	Model . . . . .	20
2.3.1.1	Communicator . . . . .	20
2.3.1.2	Program . . . . .	20
2.3.1.3	EngineModel . . . . .	21
2.3.1.4	ModelHolder . . . . .	21
2.3.2	View . . . . .	21
2.4	Návrh uživatelského rozhraní . . . . .	23
2.4.1	Hlavní okno aplikace . . . . .	23
2.4.2	Dialogy . . . . .	24
2.4.3	Rozdělení akcí . . . . .	25
<b>3</b>	<b>Realizace</b> . . . . .	<b>27</b>
3.1	Správa paměti . . . . .	27
3.2	Komunikace mezi komponentami, smyčka událostí . . . . .	28
3.2.1	Smyčka událostí . . . . .	28
3.2.2	Signály a sloty . . . . .	28
3.2.3	Použití v aplikaci . . . . .	28
3.3	Formát vstupních dat . . . . .	29
3.4	Generování a editace průběhů . . . . .	29
3.4.1	Sinusoida . . . . .	30
3.4.2	Pila . . . . .	30
3.4.3	Lineární funkce . . . . .	31
3.4.4	Ruční zadávání instrukcí . . . . .	31
3.4.5	Validace průběhů . . . . .	32
3.4.6	Spojování a opakování průběhů . . . . .	33
3.5	Překlad průběhů na instrukce . . . . .	33
3.5.1	Spouštění programů . . . . .	37
3.6	Komunikace s řídicí jednotkou . . . . .	38
3.6.1	Knihovna QSerialPort . . . . .	38
3.6.2	Communicator . . . . .	40
3.6.3	Komunikační stavy . . . . .	40
3.6.4	Hlavní stavy . . . . .	40
3.6.5	Přechodné stavy . . . . .	41

3.7	View . . . . .	42
3.7.1	Hlavní okno . . . . .	42
3.7.2	PlotWidget . . . . .	43
3.7.3	Informace o běžícím průběhu . . . . .	43
3.7.4	Odhad rychlosti . . . . .	44
<b>4</b>	<b>Testování</b>	<b>45</b>
4.1	Test překladače a editoru . . . . .	45
4.2	Softwarová simulace . . . . .	45
4.2.1	Popis simulátoru . . . . .	46
4.3	Test s hardwarem . . . . .	47
4.4	Výsledky testů . . . . .	48
4.4.1	Zjištěné problémy . . . . .	48
4.4.2	Změny implementace na základě testů . . . . .	48
	<b>Závěr</b>	<b>49</b>
	<b>Literatura</b>	<b>51</b>
	<b>A Instrukční sada řídicí jednotky</b>	<b>53</b>
	<b>B Odpovědi vysílané řídicí jednotkou</b>	<b>57</b>
	<b>C Seznam použitých zkratk</b>	<b>59</b>
	<b>D Instalační příručka</b>	<b>61</b>
	<b>E Obsah příloženého CD</b>	<b>63</b>



---

## Seznam obrázků

1.1	Lineární motor EZ Limo EZC6E030M-C . . . . .	5
1.2	Převodník USB - UART . . . . .	6
1.3	Instrukční cyklus řídicí jednotky [1] . . . . .	10
2.1	Cyklus průběhu programu s událostí NEXT_256 . . . . .	15
2.2	Ideální plnění instrukční fronty . . . . .	17
2.3	Podrobný diagram ModelHolderu . . . . .	22
2.4	Diagram hlavních komponent . . . . .	23
2.5	Návrh GUI hlavního okna aplikace . . . . .	24
2.6	Návrh GUI generátoru průběhů . . . . .	25
3.1	Hierarchie vlastnictví objektů . . . . .	28
3.2	Ukázka průběhu sinusoidy . . . . .	30
3.3	Ukázka průběhu pily . . . . .	31
3.4	Ukázka lineárního průběhu . . . . .	32
3.5	Spojení dvou průběhů s opakováním . . . . .	35
3.6	Diagram procesu spuštění programu . . . . .	39
3.7	Diagram stavů komunikace . . . . .	41
3.8	Použití QDockWidgetu . . . . .	43
4.1	Schéma činnosti simulátoru . . . . .	46
4.2	Testování aplikace se simulátorem . . . . .	47





---

## Seznam tabulek

1.1	Parametry motoru . . . . .	4
1.2	Parametry UART . . . . .	6
1.3	Odezvy instrukcí generované řídicí jednotkou . . . . .	11
1.4	Struktura odezvy na instrukci STATUS_REQ . . . . .	11
1.5	Odezvy událostí generované řídicí jednotkou . . . . .	12
A.1	Instrukční sada řídicí jednotky. . . . .	55
B.1	Odezvy instrukcí generované řídicí jednotkou . . . . .	57
B.2	Odezvy událostí generované řídicí jednotkou . . . . .	58



---

# Úvod

Tato práce vznikla z popudu Ing. Matěje Bartíka, aby doplnila chybějící softwarovou část jím vytvořené řídicí jednotky lineárního motoru. Ta vznikla pro Laboratoř biomechaniky člověka Ústavu mechaniky biomechaniky a mechatroniky Fakulty strojní Českého vysokého učení technického v Praze jako náhrada řídicí jednotky ESMC–C2 lineárního motoru EZ Limo EZC6E030M–C. Ten v laboratoři slouží k experimentálním měřením mechanických vlastností biologických a syntetických cévních náhrad.

Jednotka ESMC–C2 dodávaná výrobcem se vyznačuje nedostatečnou softwarovou podporou, která neumožňuje zadávat delší pohyby a využít kompletní funkcionalitu motoru. Nakonec se podařilo naimplementovat novou řídicí jednotku na bázi FPGA čipu, která netrpí funkčními nedostatky jednotky ESMC–C2.

Součástí návrhu nové jednotky měl být i ovládací software, který by umožňoval pokročilé ovládání jednotky, sledování jejího stavu a zadávání programů. K jeho implementaci bohužel nedošlo.

Tato práce se zabývá vytvořením chybějící ovládací aplikace spolu s překladačem, který umožní zadávat programy v podobě diskrétních reprezentací matematických funkcí pohybu motoru. V první kapitole jsou popsány parametry fungování řídicí jednotky a motoru EZC6E030M–C. Druhá kapitola popisuje analýzu softwarových požadavků a návrh obslužného software, jeho architekturu a uživatelské rozhraní. Třetí kapitola se zabývá samotnou implementací, popisuje chování aplikace a použité algoritmy. Poslední, čtvrtá kapitola, se zabývá testováním jak pomocí softwarové simulace, tak s připojeným hardwarem.



---

# Analýza

## 1.1 Cíl práce

Cíle této práce jsou analýza funkcí řídicí jednotky lineárního motoru a vytvoření obslužné desktopové aplikace, která pro tuto jednotku umožní vytvářet uživatelské programy v grafickém prostředí. Aplikace bude komunikovat s řídicí jednotkou, umožní uživateli její ovládání a poskytne zpětnou vazbu o jejím chování. Přesný výčet požadavků je popsán v části 1.3.

## 1.2 Stav v době zahájení práce

V době zahájení práce byla k dispozici hotová řídicí jednotka implementovaná na FPGA čipu. Dále existovala demonstrační aplikace, která umožňuje generovat a spouštět pilovité průběhy. Jakékoliv složitější průběhy nebo použití pokročilých instrukcí je třeba zadávat ručně přímo ve strojovém kódu instrukční sady a odesílat je pomocí externích programů pro komunikaci po sériové lince, kterou jednotka používá.

## 1.3 Funkční požadavky

### 1.3.1 Základní požadavky

- Uživatel bude moci v rámci aplikace zadávat programy pro řídicí jednotku, spouštět je a ovládat tak lineární motor.
- Programy budou zadávány v podobě funkcí představujících závislost polohy motoru na čase a překládány na instrukce z instrukční sady řídicí jednotky.
- Aplikace bude komunikovat s řídicí jednotkou pomocí sériové linky.

### 1.3.2 Zadávání a editace modelů

- Jednotlivé funkce průběhu budou načítány v podobě diskrétních hodnot z textového souboru.
- U každé funkce půjde nastavit počet opakování a změnit její parametry - dobu trvání, frekvenci, amplitudu.
- Aplikace bude obsahovat validaci, která uživatele upozorní, pokud jím zadaný průběh překročí maximální hodnotu amplitudy, případně rovnou zabrání jeho spuštění.
- Funkce bude možné řadit za sebe a spojovat do větších celků.
- Uživatel bude moci vytáčet jednoduché průběhy přímo v aplikaci, spojovat je se svými vlastními průběhy a ukládat je.

### 1.3.3 Zobrazení stavových informací a průběhu

- Uživatel bude moci v aplikaci zobrazit grafy průběhů jednotlivých funkcí.
- V případě, že bude z aplikace spuštěn program v řídicí jednotce, uvidí uživatel průběh vykonávání tohoto programu v okně aplikace.
- Aplikace zobrazí informace o stavu řídicí jednotky a motoru, odhadovanou rychlost, stav magnetické brzdy a limity pohybu.

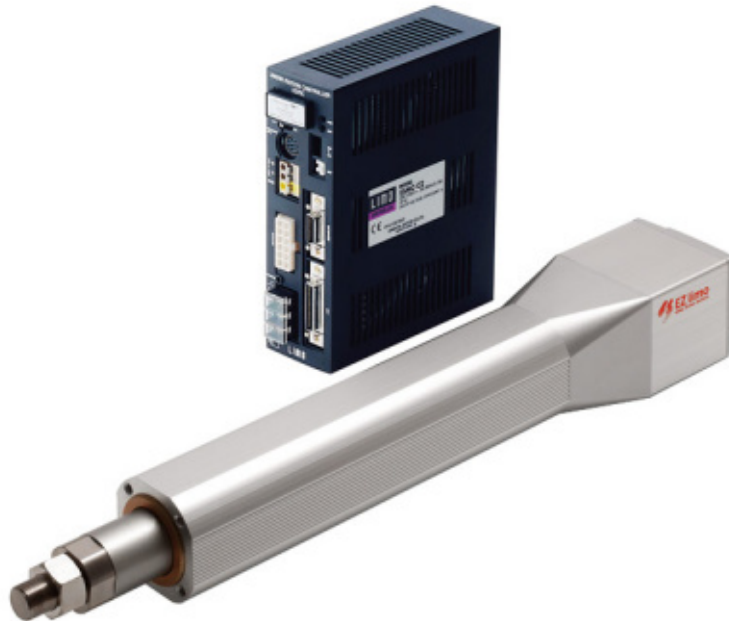
### 1.3.4 Nastavení řídicí jednotky

- Aplikace umožní nastavovat parametry řídicí jednotky, hranice pohybu motoru a ovládání magnetické brzdy.

### 1.3.5 Lineární motor EZ Limo EZC6E030M-C

Délka pohyblivé části	300 mm
Rozlišení	0,01 mm
Přesnost při opakovaném návratu na stejnou pozici	$\pm 0.02$ mm
Maximální rychlost	300 mm/s
Maximální síla tahu	400 N
Maximální síla tlačení	500 N
Magnetická brzda	Ano

Tabulka 1.1: Parametry lineárního motoru EZ Limo EZC6E030M-C [2]



Obrázek 1.1: Lineární motor EZ Limo EZC6E030M-C

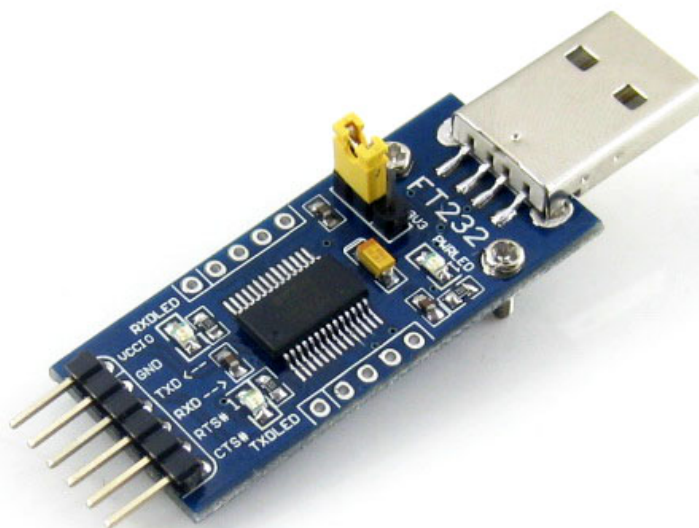
## 1.4 Řídicí jednotka

### 1.4.1 Obecný popis

Řídicí jednotka je navržena na bázi programovatelného hradlového pole FPGA. Jde o univerzální logický obvod, jehož chování lze naprogramovat. Používá vnitřní oscilátor s taktem 50 MHz. Jednotka nemá žádnou vlastní paměť, pouze několik registrů a instrukční frontu, která pojme 512 instrukcí o šířce 72 bitů [1].

### 1.4.2 Komunikační rozhraní

Řídicí jednotka komunikuje s počítačem pomocí rozhraní sériové linky UART. Je to jeden z nejstarších a nejjednodušších protokolů, díky čemuž je využíván v mnoha zařízeních a stal se průmyslovým standardem. Funguje na bázi jednoduchého převodníku, který převádí jednotlivé bajty na sekvenci bitů, kterou následně vysílá po lince [3]. Na druhém konci této linky se nachází druhý UART, který přijaté bity dekóduje. V minulosti bylo toto rozhraní přítomno ve většině osobních počítačů v podobě sériového portu RS-232, který je nyní většinou nahrazen rozhraním USB. Existují ale převodníky mezi UART a USB viz obrázek 1.2.



Obrázek 1.2: Převodník USB - UART

Celá komunikace je izochronní<sup>1</sup> a používá start/stop bity k oddělení jednotlivých bloků dat. Parametry sériové linky implementované v řídicí jednotce jsou vypsány v tabulce 1.2.

Nevýhodou tohoto rozhraní je nízká přenosová rychlost, proto se příliš nehodí pro velké objemy dat. Na druhou stranu – díky své jednoduchosti je podporován všemi operačními systémy a existuje pro něj mnoho knihoven v nejrozšířenějších programovacích jazycích. Navíc vzhledem k reakční době motoru je i tato rychlost dostatečná.

Přenosová rychlost	115 200 baudů <sup>2</sup>
Počet bitů	8
Počet stop bitů	1
Parita	Ne
Řízení toku dat	Ne

Tabulka 1.2: Parametry pro přenos dat přes rozhraní UART [1]

---

<sup>1</sup>Každý bit je reprezentován signálem konstantní délky.



### 1.4.3 Instrukční sada

#### 1.4.3.1 Obecný popis

Všechny instrukce mají pevnou délku slova 72 bitů, kde prvních 8 bitů je určeno pro operační znak instrukce a zbylých 64 bitů je rozděleno na  $2 \times 32$  bitů pro reprezentaci celočíselných operandů instrukcí [1].

Kompletní soupis všech instrukcí včetně jejich operačních kódů a popisu se nachází v příloze A. Zde jsou uvedeny pouze ty nejdůležitější.

#### 1.4.3.2 Instrukce MOVE a WAIT

Toto jsou dvě nejdůležitější instrukce, které ovládají pohyb motoru. Obě dvě instrukce jsou závislé na fyzických parametrech řídicí jednotky, respektive samotného motoru. Konkrétně na délce kroku motoru a hodinovém taktu řídicí jednotky.

**MOVE** zajišťuje pohyb motoru dopředu nebo dozadu a má dva operandy:

- Operand č.1 - interval mezi dvěma kroky motoru v hodinových taktech řídicí jednotky.
- Operand č.2 - počet kroků motoru.

Řídící jednotka pracuje na frekvenci 50 MHz. Pokud se má jednotka pohybovat rychlostí například 1000 kroků/s, znamená to zapsat do operandu č.1 hodnotu  $(50 * 10^6)/10^3 = 50000$ .

Podle tabulky 1.1 má motor délku kroku 0,01 mm. Proto pokud má urazit například 10 mm, znamená to 1000 kroků, které se zapíše jako hodnota 2. operandu. Informace o směru pohybu je dána znaménkem operandu. Kladná hodnota znamená pohyb vpřed, záporná návrat do výchozí pozice. Motor má délku pohyblivé části 300 mm, to znamená 30 000 kroků. Je tedy vidět, že 32 bitů bohatě stačí na zadání celého pohybu.

**WAIT** je instrukce s jedním operandem, který označuje délku čekání v taktech. Maximální hodnota operandu je  $2^{32}$ , délka jednoho taktu řídicí jednotky je 20 ns. To znamená, že jednou instrukcí WAIT lze čekat  $20 * 2^{32}$  ns = 85, 899 s. To dostačuje při každém rozumném použití.

---

<sup>2</sup>Jednotka modulační rychlosti. Pro jednoduché protokoly bez zvláštního kódování odpovídá 1 Bd = 1 bit/s.

### 1.4.3.3 Prioritní instrukce

Instrukce **RESUME**, **HALT**, **FLUSH** a **RESETCMD** jsou instrukce sloužící k řízení činnosti jednotky. Jsou zpracovány prioritně mimo instrukční frontu a generují 1 bajtovou odpověď, která je odesílána sériovým portem ovládacímu počítači.

**RESUME** slouží k zahájení nebo obnovení činnosti jednotky. Po jejím zpracování se začnou vykonávat instrukce ve frontě, pokud není prázdná.

**HALT** zastaví činnost jednotky. Nevykonané instrukce zůstávají ve frontě.

**FLUSH** stejně jako **HALT** zastavuje činnost jednotky, ale navíc vyprázdňuje instrukční frontu, takže může být případně nahrán jiný program.

**RESETCMD** restartuje jednotku, která se tak dostane do výchozího stavu po zapnutí.

### 1.4.4 Instrukční cyklus

Instrukční cyklus řídicí jednotky má čtyři fáze [1]:

- **IDLE** - klidový stav, prázdná instrukční fronta,
- **LOAD** - načítání instrukce z instrukční fronty,
- **DECODE** - dekodování instrukce, na základě operačního kódu přejde jednotka do příslušného stavu,
- **EXECUTE** vykonání instrukce.

Stavový automat znázorňující jednotlivé fáze a přechody je vyznačen na obrázku 1.3. Fáze **EXECUTE** má několik větví (typů instrukcí), které jsou označeny rámečkem.

#### 1.4.4.1 Časování instrukcí

Jak je vidět na obrázku 1.3, jednotlivé instrukce mohou mít rozdílnou délku fáze **EXECUTE**. Počet taktů potřebných k jejich vykonání se liší v závislosti na prioritě a generované odezvě.

**MOVE** a **WAIT** Tyto dvě instrukce mají nejdelší dobu provádění, protože jsou přímo závislé na činnosti motoru. Doba jejich provádění je určena těmito vzorci [1]:

- **MOVE**:  $Time = (2 \times Prescaler + 1) \times Distance + 6 + 2 + 3$  [Cykly]
- **WAIT**:  $Time = (2 \times Timer + 1) + 6 + 2 + 3$  [Cykly]

Provádění instrukce `WAIT` je prakticky totožné jako u `MOVE`, pouze parametr vzdálenosti je roven 1 a signály pro pohyb motoru jsou potlačeny. Proměnné *Prescaler*, *Distance* a *Timer* odpovídají jednotlivým operandům.

**Instrukce bez odezvy** Instrukce které negenerují odezvu mají dobu vykonání čtyři takty, což odpovídá jednotlivým fázím instrukčního cyklu. Mezi tyto instrukce patří `SET_POS`, `SET_TIME_*`, `SET_LIMIT_*`, `DISEN_LIMIT_*`, `EN_LIMIT_*`<sup>3</sup>.

**Instrukce s odezvou** Instrukce, které generují odezvu, vysílanou po sériové lince, mají dobu vykonání závislou na velikosti odezvy. Zápis 1 bajtu do výstupní fronty zabere právě jeden takt. Doba jejich vykonání tedy je:

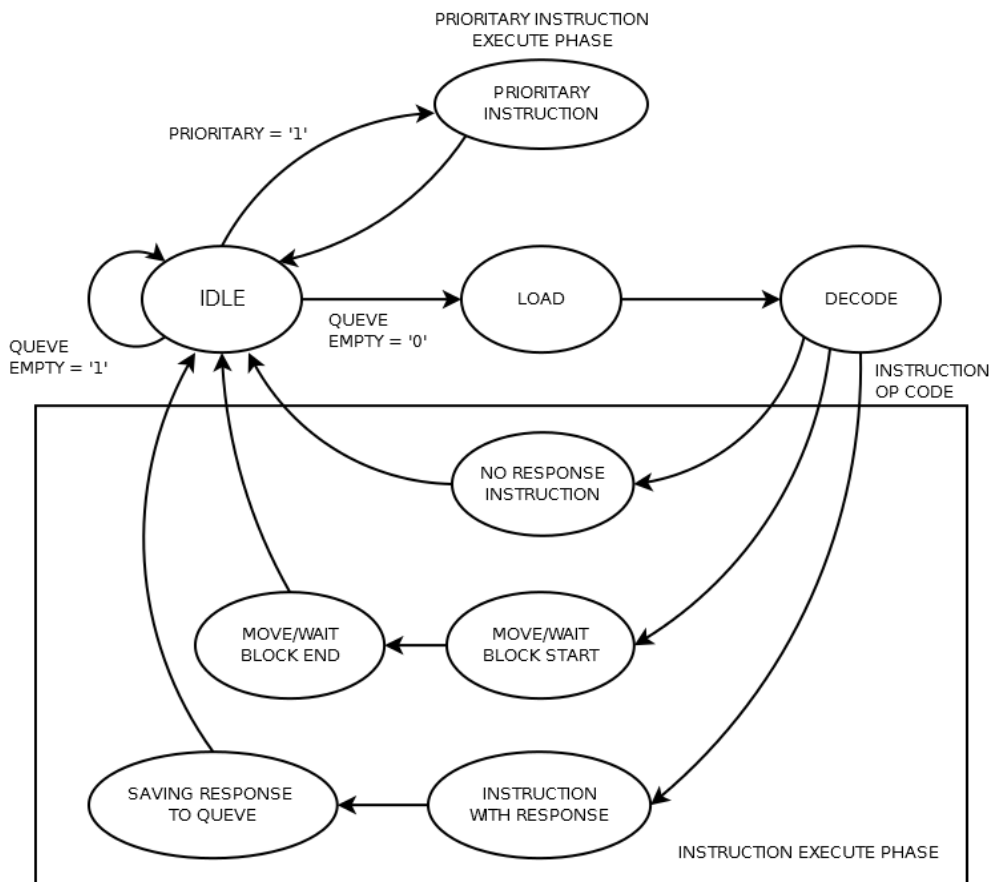
$$Time = 4 + delka\_odezvy \quad [Cykly]$$

**Prioritní instrukce** Vzhledem k tomu, že instrukce `RESUME`, `HALT` a `FLUSH` se vykonávají mimo pořadí, závisí doba jejich provedení na právě probíhající instrukci. Její vykonání nelze přerušit, instrukce jsou atomické. Výjimkou jsou instrukce `MOVE` a `WAIT`. Ty lze přerušit během stavu `MOVE_RUNNING`, tedy když je vykonáván samotný pohyb motoru.

---

<sup>3</sup>Instrukce s hvězdičkou mají více verzí. Viz dodatek A

## 1. ANALÝZA



Obrázek 1.3: Instrukční cyklus řídicí jednotky [1]

### 1.4.5 Odezvy a události generované jednotkou

Řídicí jednotka odesílá zprávy po sériové lince jako odezvu na vykonání některých instrukcí a také jako informaci o událostech, ke kterým dochází během jejího běhu. Struktura odezvy instrukcí je popsána v tabulkách 1.3 a 1.4, události pak v tabulce 1.5.

<b>Odezvy instrukcí generované řídicí jednotkou</b>			
Instrukce generující odezvu	Binární reprezentace odezvy – hlavička	Délka odezvy	Význam předávané hodnoty
HALT	1101 0001	1 B	Není
FLUSH	1101 0011	1 B	Není
RESUME	1101 0010	1 B	Není
READ_POS	0100 0101	5 B	Pozice motoru
READ_R_POS	0001 0101	5 B	Pozice získaná z kvadraturního enkodéru
READ_TIME	0010 0101	5 B	Času jednotky
BRAKE_EN	11110110	1 B	Není
BRAKE_DIS	11110111	1 B	Není
STATUS_REQ	1010 0100	4 B	Stavové informace, struktura odpovědi – tabulka 1.4
ECHO	1100 0011	1 B	Není
RELAY1_DOWN	1110 0000	1 B	Není
RELAY1_UP	1110 0001	1 B	Není
RELAY2_DOWN	1110 0010	1 B	Není
RELAY2_UP	1110 0011	1 B	Není
ALARM_CLEAR	0101 1010	1 B	Není

Tabulka 1.3: Odezvy instrukcí generované řídicí jednotkou

<b>Struktura odezvy na instrukci STATUS_REQ</b>				
Bit(y)	39 – 32	31 – 27	26	25
Význam	Hlavička odpovědi	0000	Magnetická brzda	Limita 1
Bit(y)	24	23 – 19	18 – 8	7 – 0
Význam	Limita 2	00000	Počet instrukcí v instrukční frontě	0000 0000

Tabulka 1.4: Struktura odezvy na instrukci STATUS\_REQ

<b>Odezvy generované událostí řídicí jednotky</b>		
Událost generující odezvu	Binární reprezentace odezvy – hlavička	Délka odezvy
WATCHDOG	1101 0001	1 B
QUEUE_OVERLOADED	1101 0011	1 B
NEXT_256	1101 0010	1 B
REACHED_L1	0100 0101	1 B
REACHED_L2	0001 0101	1 B
BRAKE_MANUAL	0010 0101	1 B
ALARM	11110110	1

Tabulka 1.5: Odezvy událostí generované řídicí jednotkou

---

# Návrh

Tato kapitola popisuje návrh celé aplikace. Nejprve rozebere jednotlivé funkční požadavky vzhledem k fungování motoru. Následuje popis a srovnání vhodných programovacích jazyků a dostupných aplikačních knihoven a výběr jedné z nich pro použití v implementační části. Poslední částí kapitoly je návrh architektury a uživatelského rozhraní aplikace.

## 2.1 Rozbor funkčních požadavků vzhledem k vlastnostem motoru a řídicí jednotky

Jak bylo popsáno v kapitole 1.4, řídicí jednotka pracuje s taktem 50 MHz a zpracovává instrukce přijaté pomocí sériové linky. Instrukce jsou uloženy ve frontě s kapacitou 512 instrukcí. Instrukční sada jednotky obsahuje instrukce pro ovládání pohybu motoru, nastavování a čtení parametrů, zastavení a spuštění.

Jednotka ovládá lineární motor s maximální rychlostí pohybu 300 mm/s a dosažitelnou vzdáleností 300 mm. Během svého fungování jednotka vysílá zpět po sériové lince odezvy jako informace o některých vykonaných instrukcích nebo vnějších událostech.

Dostupné instrukce a uvedené parametry motoru a jednotky je třeba zohlednit při analýze funkčních požadavků a zahrnout do výsledné aplikace.

### 2.1.1 Zadávání a editace průběhů

Funkcionalita řídicí jednotky nemá na zadávání průběhů žádný vliv. Jediné, co je třeba brát v potaz, jsou parametry motoru. Zadávané průběhy nemohou překročit maximální rychlost motoru a jeho rozsah. Proto bude třeba vytvořit mechanismus validace, který zabrání spuštění takových průběhů a ideálně upozorní uživatele na problémová místa.

### 2.1.2 Zobrazení stavových informací

Mezi požadavky na výslednou aplikaci patří mimo jiné i zobrazení průběhu právě spuštěného programu a stavových informací. Řídící jednotka má několik instrukcí, které umožňují takové informace získat, například `STATUS_REQUEST`, nebo `READ_R_POS`. Pomocí těchto a dalších instrukcí by tedy mělo být možné zjistit stav jednotky. Nevýhodou je, že tyto instrukce nemají v systému žádnou prioritu, a proto zřejmě nepůjde zjišťovat tyto informace kdykoliv za běhu, ale přinejlepším se zpožděním v závislosti na délce čekajících instrukcí `MOVE/WAIT`.

Dalším problémem je, že jednotka neodesílá žádné informace o vykonávání instrukcí `MOVE` a `WAIT`, a tedy ani o pohybu motoru. Jeho polohu lze sice zjistit pomocí `READ_R_POS`, to by ale znamenalo vložit takovou instrukci za každou `MOVE` a zároveň zajistit, aby jeden `MOVE` netrval příliš dlouho. Navíc podle [1], je signál pro zjištění pozice zpožděn o více než 10 ms. `READ_R_POS` se tedy hodí spíše k ověření dosažení očekávané koncové polohy motoru. Hodnoty polohy a rychlosti zobrazené v aplikaci budou tedy pouze lokálně vypočítané odhady. Ten může být navíc mírně zpožděn o čas odeslání prvního bloku instrukcí, nicméně toto zpoždění bude maximálně okolo 250 ms<sup>4</sup>.

### 2.1.3 Reakce na události

Jak už bylo uvedeno v kapitole 1.4.5, kromě očekávaných odpovědí od odeslaných instrukcí, generuje jednotka také události, na které je třeba adekvátním způsobem reagovat. Některé z nich bude možné obsloužit automaticky, jiné signalizují potenciální problém a budou vyžadovat upozornění obsluhy.

**NEXT\_256** Toto je asi nejdůležitější událost, která signalizuje vykonání 256 `MOVE/WAIT` instrukcí. Ve chvíli jejího přijetí bude nezbytné, aby měla obslužná aplikace připravený další instrukční blok a neprodleně ho odeslala řídící jednotce nebo signalizovala ukončení programu. Z toho důvodu bude `NEXT_256` základem celého komunikačního protokolu. Jeho stručný návrh je vidět na diagramu 2.1.

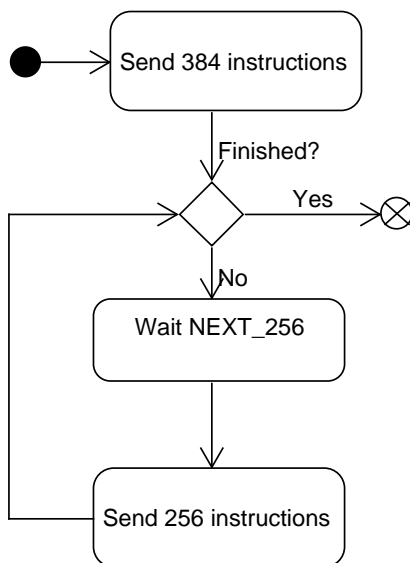
---

<sup>4</sup>Odeslání prvního bloku instrukcí/přenosová rychlost  $\frac{384 \cdot 72b}{115200b} = 0,24 = 240ms$



## 2.1. Rozbor funkčních požadavků vzhledem k vlastnostem motoru a řídicí jednotky

---



Obrázek 2.1: Cyklus průběhu programu s událostí NEXT\_256

**REACHED L1 a L2** Tyto dvě události značí překročení povoleného rozsahu pohybu motoru stanoveného obsluhou aplikace. To znamená, že bude nutné nějakým, zřejmě vizuálním způsobem obsluhu upozornit, aby mohla reagovat.

**QUEUE\_OVERFLOW** Přetečení fronty nastane, pokud bude odeslán například úvodní blok instrukcí do neprázdné fronty, nebo při špatné implementaci obsluhy události NEXT\_256. Tato událost by neměla nastat, pokud bude dobře implementován komunikační algoritmus a aplikace bude odesílat správný počet instrukcí.

**BRAKE\_MANUAL** Magnetickou brzdu lze spustit i ručně pomocí tlačítka řídicí jednotky, což vyvolá tuto událost, indikující že motor nemůže pokračovat v běhu. V aplikaci proto bude neustále zobrazen stav magnetické brzdy a na jeho změny bude uživatel upozorněn.

**ALARM** Tato událost značí nemožnost vykonání zadaného příkazu motorem. Nastává například při pohybu mimo rozměrové hranice motoru nebo překročení jeho maximální rychlosti. Motor i řídicí jednotka se v tom případě zastaví. Aplikace by měla informovat uživatele a následně odblokovat řídicí jednotku instrukcemi ALARM\_CLEAR a FLUSH.

### 2.1.4 Nastavení parametrů jednotky

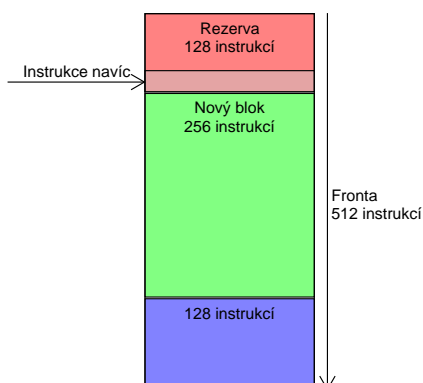
Řídící jednotka obsahuje instrukce pro zapnutí magnetické brzdy, času jednotky a nastavení limitů pro pohyb motoru, při jejichž dosažení upozorní uživatele odesláním události. Uživatelské rozhraní bude mít ovládací prvky, pomocí kterých se budou tyto parametry nastavovat. Při jejich použití aplikace vygeneruje a odešle příslušné instrukce.

Problémem je ale chybějící odezva některých instrukcí. Zatímco instrukce pro ovládání magnetické brzdy `BRAKE_EN` a `BRAKE_DIS` odezvu mají a není tím pádem problém promítnout informaci o stavu brzdy v uživatelském rozhraní, změny a zapínání limitů nebo času jsou bez odezvy. Tento nedostatek se bude kompenzovat následným odesláním instrukce `STATUS_REQUEST`, která zajistí potvrzení nového stavu. Přesný popis této komunikace je popsán v části 3.7.

Tyto změny nebude možné provádět při běhu programu, který vykonává pohyb motoru. Použité instrukce totiž nemají prioritu a proto by nebylo možné zajistit jejich provedení okamžitě, ale až se zpožděním daným délkou `MOVE` instrukcí.

### 2.1.5 Odesílání instrukcí

Podle [1] je doporučeným postupem odeslat při spuštění programu úvodní blok 384 instrukcí a následně reagovat odesláním dalších bloků při přijetí události `NEXT_256`. Tím pádem je zajištěno, že jednotka bude mít stále dostatek instrukcí a zároveň nedojde k přetečení instrukční fronty. Navíc jednotka informuje pouze o vykonání `MOVE` a `WAIT`, 128 volných míst v instrukční frontě tak lze použít pro ostatní instrukce, přičemž se předpokládá, že těchto instrukcí bude vzhledem k jejich účelu minimum.



Obrázek 2.2: Ideální plnění instrukční fronty

## 2.2 Výběr programovacího jazyka a knihoven

Programovací jazyk je jedním z faktorů, které významně ovlivní následnou implementaci. Při jeho výběru hrálo roli několik kritérií, jako je dostupnost knihoven, kvalita dokumentace a podpora různých platforem, především Windows a případně i Linuxu. V potaz byly také brány osobní zkušenosti a znalosti uvedených knihoven.

S ohledem na výše uvedená kritéria a další funkční požadavky uvedené v kapitole 1.3, se nakonec rozhodování zúžilo na tři jazyky – C++, Javu a C#. Všechny tři patří do skupiny nejrozšířenějších jazyků [4] s velkým množstvím knihoven. Srovnání se zaměřuje hlavně na podporu GUI, vícevláknového zpracování a práce se sériovým portem, případně na dostupnost těchto knihoven.

### 2.2.1 Java a její knihovny

**Podpora sériového portu** Java nemá ve své standardní knihovně podporu pro práci se sériovým portem, takže je nutné využít externích knihoven. Jednou z možností je použití Java Communications API, rozšíření Javy vydané přímo Oraclem. Tato knihovna bohužel nepodporuje Windows [5], což jde proti záměru, aby aplikace byla multiplatformní. Kromě této knihovny existují i další, pod open-source licencí nebo placené.

**Podpora vláken** Java podporuje vícevláknové programování přímo prostřednictvím tříd v základní knihovně.

**Podpora GUI** Existují dvě základní knihovny pro tvorbu GUI desktopových aplikací. Starší AWT a novější Swing. Obě dvě jsou součástí základních knihoven Javy.

### 2.2.2 C# a jeho knihovny

C# je objektově orientovaný jazyk podobný Javě a C++. Je postaven nad frameworkem .NET a podobně jako Java je překládán do bajtkódu a spouštěn pomocí virtuálního stroje jménem CLR.

**Podpora sériového portu** Součástí .NETu je i C# implementace knihovny SerialPort [6], s jejíž pomocí lze naimplementovat synchronní i asynchronní komunikaci.

**Podpora vláken** Stejně jako Java má C# podporu vláken implementovanou jako součást základní knihovny.

**Podpora GUI** .NET má dvě různé knihovny pro tvorbu GUI, které se liší ve svém pojetí. Novější WPF je postavené na XML podobném jazyku XAML, který umožňuje oddělit definici grafického rozhraní od funkcionality aplikace.

### 2.2.3 C++ a jeho knihovny

U C++ je situace trochu složitější než u předchozích dvou jazyků. Předně, C++ je objektový jazyk vycházející z jazyka C, překládáný přímo do strojového kódu cílové platformy. To znamená, že v něm napsané programy musí být překládány zvlášť pro různé operační systémy a počítačové architektury. Nemá virtuální stroj, ale pouze minimální běhové prostředí, které nepodporuje garbage collection. Programátor tedy musí sám hlídat správnou alokaci paměti. Na druhou stranu nad ní má absolutní kontrolu. C++ má vlastní standardní knihovnu STL, která ale poněkud zaostává v abstrakci operací, které jsou závislé na operačním systému, jako je práce se souborovým systémem, nebo GUI. Z toho důvodu je třeba používat různé knihovny, API operačního systému nebo frameworky.

Abychom se vyhnuli případné nutnosti použití WinAPI nebo různých unixových knihoven, což by znamenalo svázání s jedním operačním systémem, rozebereme možnosti několika velkých knihoven a frameworků, které by měly pokrýt všechny potřeby aplikace.

#### 2.2.3.1 Boost

Boost je soubor knihoven mající za cíl doplnit chybějící funkcionalitu STL [7]. Je vydaný pod vlastní opensource licenci, která umožňuje volné použití pro ko-

merční i nekomerční účely [8]. Kromě jiných obsahuje třídy pro práci s vlákny a také sériovým portem. Nemá ale žádnou podporu grafiky.

### 2.2.3.2 wxWidgets

Multiplatformní knihovna pro tvorbu GUI aplikací. Umožňuje vytvářet grafické prostředí s nativním vzhledem na všech nejrozšířenějších operačních systémech. Je dostupná pod wxWindows licenci, která je založená na LGPL, ale nevyžaduje zveřejnění zdrojového kódu, takže se hodí i pro komerční aplikace [9]. Kromě tvorby GUI podporuje také práci s médii, sítí nebo vlákny. Bohužel nemá žádnou podporu práce se sériovým portem. Mohla by ale být vhodným doplňkem ke knihovně Boost.

### 2.2.3.3 Qt

Qt je spolu s wxWidgets asi nejrozšířenější knihovnou pro tvorbu grafického prostředí. Od wxWidgets se ale dost zásadně liší. Především nejde jen o grafickou knihovnu, ale ucelený framework pro tvorbu aplikací v různých jazycích, primárně v C++ a Pythonu. Funguje na několika platformách od Windows a Linuxu až po Android. Obsahuje knihovny pro práci s GUI, multimédií, vlákny, souborovým systémem a mnoho dalších. Má dokonce vlastní vývojové prostředí Qt Creator s GUI návrhářem. Je vyvíjen komerčně, ale umožňuje nekomerční použití pod LGPL licenci. Ve frameworku Qt je vytvořeno linuxové grafické prostředí KDE a jeho tvůrci dohlíží na to, že Qt zůstane open source [10].

Nevýhodou Qt je, že pro implementaci některých svých principů rozšiřuje syntaxi C++. To sice zjednodušuje psaní programů, nicméně ty poté nelze přeložit běžným kompilátorem. Namísto toho je nutné nejprve použít generátor kódu zvaný Meta-Object Compiler (MOC), který z Qt specifických částí kódu vygeneruje čisté C++ přeložitelné kterýmkoliv překladačem [11].

### 2.2.4 Závěr

Pro implementaci byl nakonec vybrán jazyk C++ s frameworkem Qt. Důvodem byl především fakt, že framework obsahuje všechny potřebné knihovny a má dobře zpracovanou dokumentaci s množstvím návodů. Zároveň je multiplatformní s open source licenci pro nekomerční užití, což dostačuje pro naše použití. Svou roli také hrála předchozí zkušenosti s jeho použitím.

## 2.3 Architektura aplikace

Při návrhu aplikace byl použit architektonický vzor Model-View-Controller (MVC), respektive jeho Qt variantu zvanou Model/View. Koncept MVC spo-

čívá v rozdělení objektů do tří typů. Modelu, který reprezentuje data a vnitřní logiku aplikace, View který zajišťuje prezentaci dat v podobě uživatelského rozhraní a Controlleru který reaguje na uživatelské vstupy [12]. Qt tento koncept zjednodušuje sloučením Controlleru a View a výsledkem je architektura zvaná Model/View [13].

MVC většinou využívá implementace návrhového vzoru Observer k reago-  
vání na změny Modelu ve View. Ten spočívá v závislosti 1:N mezi objekty,  
kdy jeden objekt automaticky upozorňuje na změny N ostatních objektů [12].  
Tato funkcionální je zakomponována přímo v Qt jako *signály a sloty* [14] a je  
popsána dále v kapitole 3.2.

Na základě těchto konceptů bude aplikace rozdělena do dvou částí, Modelu  
a View, z nichž každá se bude skládat z několika dalších komponent.

### 2.3.1 Model

Model bude dále rozdělen do čtyř komponent s různou úrovní prováza-  
nosti. Tyto komponenty mají každá na starost jednu logickou část aplikace  
a vzájemnou komunikaci zajišťují její fungování. Tyto části se nazývají Com-  
municator, ModelHolder, EngineModel a Program. V popisu každé z nich je  
uveden seznam činností, za které zodpovídají.

#### 2.3.1.1 Communicator

Communicator má na starosti samotnou komunikaci s řídicí jednotkou.

- Udržuje spojení přes sériový port.
- Odesílá instrukce spuštěného programu.
- Přijímá a obsluhuje události od řídicí jednotky.
- Uchovává informaci o stavu vykonávání programu v jednotce (běží, za-  
staveno, pauza).

#### 2.3.1.2 Program

Program reprezentuje sled instrukcí, které mají být vykonány řídicí jednot-  
kou.

- Volá kompilátor na jednotlivé modely z ModelHolderu a udržuje vý-  
sledný sled instrukcí.
- Na vyžádání od Communicatoru vytváří instrukční bloky k odeslání.
- Generuje instrukce pro servisní požadavky (Magnetická brzda apod.).
- Řídí zobrazení aktuálního průběhu ve View.

### 2.3.1.3 EngineModel

Je nejmenší část modelu, která udržuje informace o parametrech motoru a řídicí jednotky.

- Definuje statické parametry jako je maximální rychlost a rozsah motoru nebo takt řídicí jednotky, které předává kompilátoru nebo ModelHolderu při validaci modelů.
- Obsahuje informace o stavu magnetické brzdy a nastavených limitech motoru.

### 2.3.1.4 ModelHolder

Je složen z modelů jednotlivých průběhů a zajišťuje manipulaci s nimi.

- Udržuje seznam modelů průběhů.
- Zajišťuje načítání a ukládání průběhů do souborů. Obsluhuje také mazání nebo změnu pořadí.
- Pro každý model drží jeho příslušný View.
- Umožňuje transformaci a spojování jednotlivých průběhů.
- Provádí validaci modelů před spuštěním.

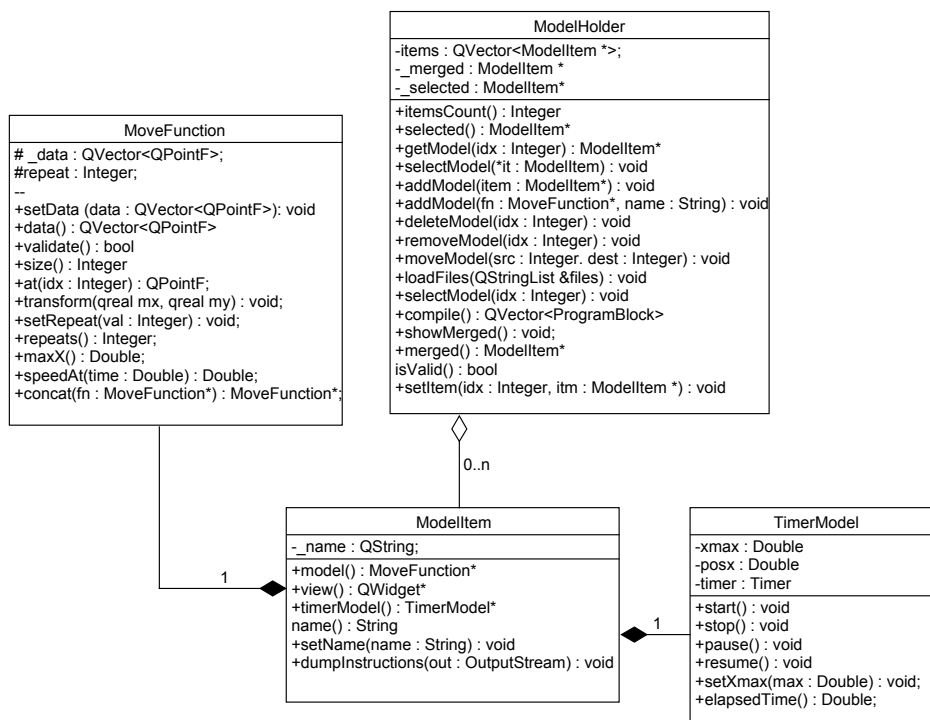
Detailní pohled na tuto komponentu lze vidět na diagramu 2.3. Třída *ModelHolder* funguje jako kontejner pro objekty *ModelItem*. Každý z nich obsahuje objekt třídy *MoveFunction* jako reprezentaci funkce průběhu. Dále *TimerModel*, který slouží k výpočtu odhadu pozice motoru a odkaz na příslušný *PlotWidget*, komponentu View.

## 2.3.2 View

View bude složen z několika samostatných vizuálních komponent – widgetů. Každý widget bude zobrazovat informace a ovládací prvky odpovídající příslušným modelům. Všechny tyto widgety pak budou zobrazeny v rámci hlavního okna aplikace *MainWindow*.

**LogWidget** Zobrazuje v textové podobě informace o běhu aplikace. Zaznamenává detailní popis akcí a událostí *Communicatoru* a *ModelHolderu*. Také zaznamená a informuje uživatele, pokud se pokouší provést neplatnou akci, například otevřít neznámý soubor.

## 2. NÁVRH



Obrázek 2.3: Podrobný diagram ModelHolderu

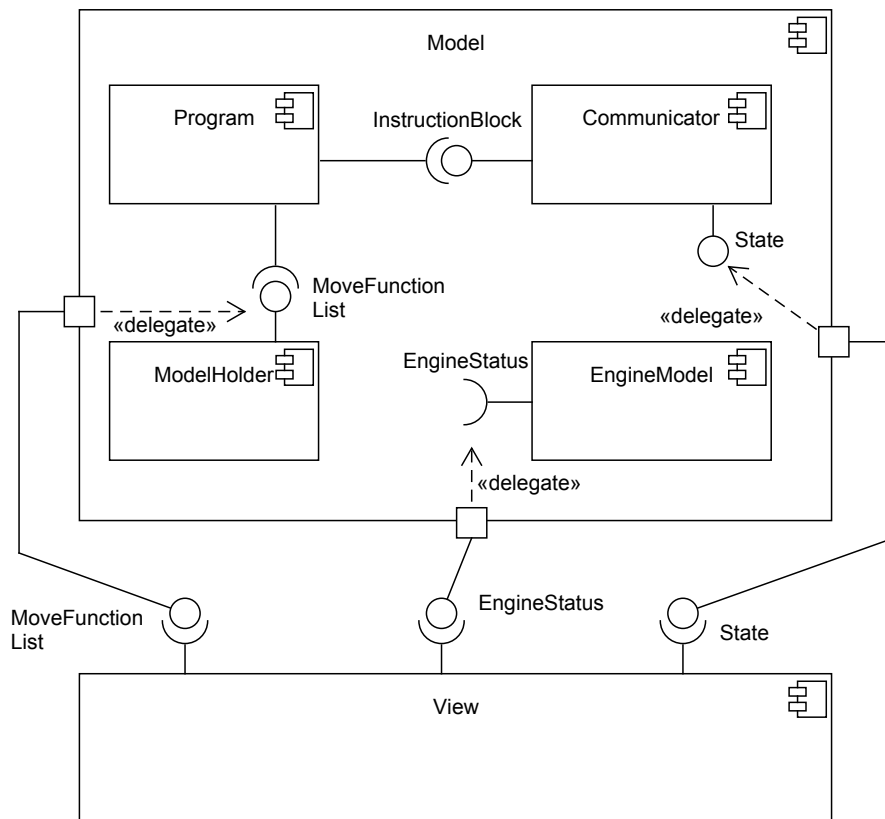
**EngineStatusWidget** Zobrazuje informace od EngineModelu – odhadovanou rychlost, stav magnetické brzdy, stav limit a port, na kterém je aplikace připojena. Jeho součástí jsou i ovládací prvky, které umožní nastavit jednotlivé parametry.

**FileListWidget** Zobrazuje seznam načtených modelů průběhů, spravované ModelHolderem. Zároveň uživateli zprostředkovává akce, které je možné s modely provádět, jejich načítání, mazání, úpravu pořadí a přepínání zobrazení v MainWidgetu.

**MainWidget** Tento widget by měl zabírat hlavní část okna. Slouží k zobrazení objektu třídy *PlotWidget*, grafu právě vybraného nebo spuštěného sloučeného průběhu.

**Dialogy** K editaci nebo generování modelů budou sloužit dialogy, které se zobrazí nezávisle na hlavním okně. Každý dialog obsahuje potřebné grafické prvky sloužící k editaci daného modelu. Data z jeho vstupů se předávají ModelHolderu ke zpracování.





Obrázek 2.4: Diagram hlavních komponent

**MainWindow** Slouží jako kontejner pro výše uvedené widgety. Stará se o jejich celkové rozložení a zprostředkovává jejich případnou interakci. Navíc ještě zobrazuje a zajišťuje obsluhu akcí hlavního menu aplikace.

## 2.4 Návrh uživatelského rozhraní

### 2.4.1 Hlavní okno aplikace

Hlavní okno aplikace bude zajišťovat většinu interakce s uživatelem. Inspo- rací pro návrh jeho uživatelského rozhraní byly především aplikace různých simulátorů a vývojových prostředí. Cílem bylo přiblížit se v rámci možností, rozložení a pojmenování prvků, na které jsou uživatelé těchto programů zvyklí.

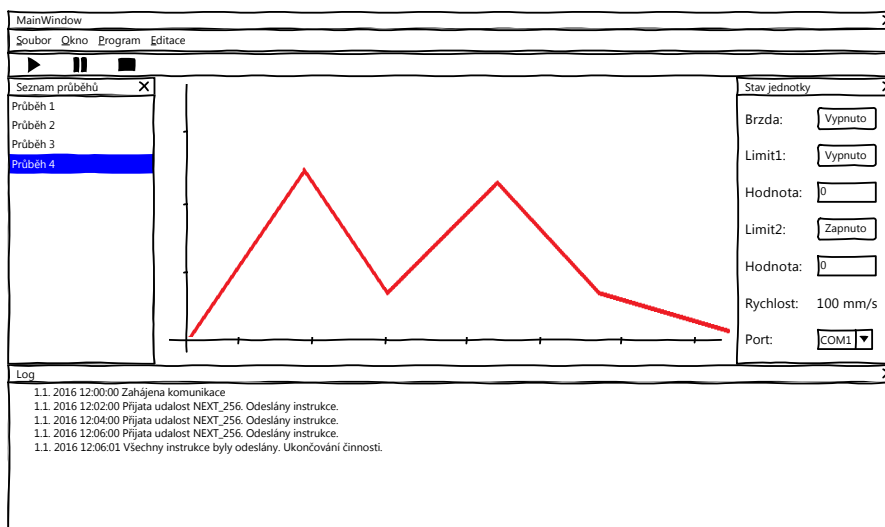
Hlavní okno lze rozdělit do pěti částí. V každé z těchto částí se nachází jeden z widgetů. V dolní části okna bude umístěn *LogWidget* s textovým zá-

## 2. NÁVRH

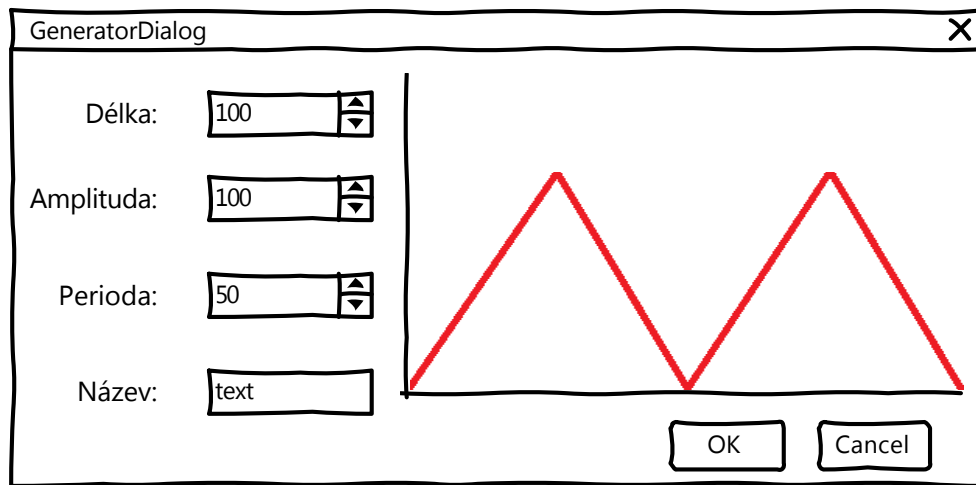
znamem událostí, vlevo seznam jednotlivých průběhů *FileListWidget* a vpravo *EngineStatusWidget* s informacemi o jednotce. Centrální část okna zabírá *MainWidget* s aktuálně vybraným průběhem. V horní části hlavního okna bude menu a nástrojová lišta s nejdůležitějšími akcemi v podobě ikon. Wireframe tohoto rozložení lze vidět na obrázku 2.5. Velikost všech widgetů bude nastavitelná podle potřeb uživatele a všechny kromě centrálního widgetu půjdou skryt.

### 2.4.2 Dialogy

Vzhledem k tomu, že ruční kreslení průběhu by pro uživatele bylo poměrně zdouhavé a zbytečně složité, bude možné v aplikaci generovat několik základních průběhů zadáním jejich parametrů. K tomuto účelu budou sloužit dialogová okna s formulářem, podobná tomu na obrázku 2.6. V levé části budou vstupní pole sloužící k zadání parametrů pro generátor průběhu. Vpravo se zobrazí náhled aktuálně generovaného průběhu, stejně jako v hlavním okně.



Obrázek 2.5: Návrh GUI hlavního okna aplikace



Obrázek 2.6: Návrh GUI generátoru průběhů

### 2.4.3 Rozdělení akcí

Akce, které může uživatel provádět, jsou podle svého určení rozděleny mezi menu hlavního okna a jednotlivé widgety.

**MainWindow Menu** volby zobrazené v horní liště okna.

- Soubor
  - Otevřít
  - Uložit vše
  - Konec
- Okno
  - Zobrazit/skrýt *LogWidget*
  - Zobrazit/skrýt *FileListWidget*
  - Zobrazit/skrýt *EngineStatusWidget*
- Program
  - Start
  - Stop
  - Pauza
  - Pokračovat

## 2. NÁVRH

---

- Editace
  - Editovat parametry průběhu
  - Generovat průběh

**FileListWidget** kontextové menu v seznamu průběhů.

- Uložit
- Přejmenovat
- Smazat
- Dump instrukcí

---

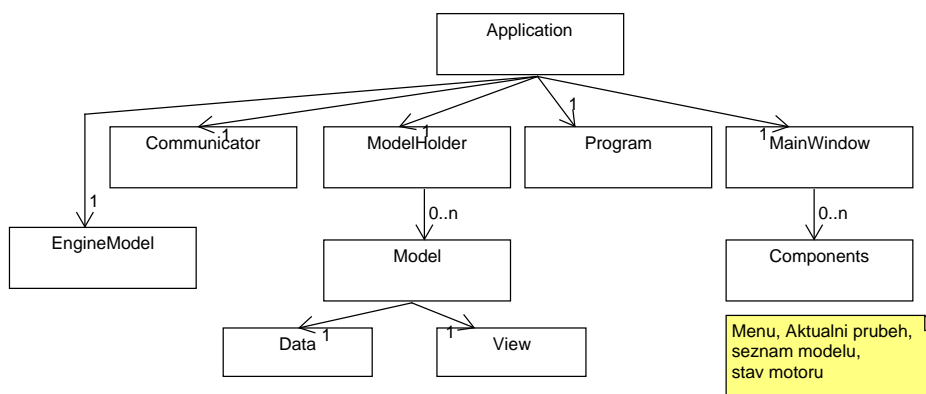
## Realizace

### 3.1 Správa paměti

Jak už bylo řečeno, C++ nechává správu paměti na programátorovi a správnou alokaci a dealokaci objektů na haldě je nutné dělat manuálně. Qt používá pro správu paměti techniku zvanou objektový strom. Ten spočívá ve vytvoření stromové struktury objektů ve vztahu rodič-potomek. Základem je třída `QObject`, od které dědí všechny ostatní třídy a která poskytuje rozhraní pro udržování seznamu potomků. Strom se poté sám stará o správnou dealokaci objektů. Stačí smazat rodičovský prvek a ten následně rekurzivně smaže všechny své potomky. Zároveň je bezpečné smazat potomka dřív než rodiče. Vazba ve stromu je obousměrná a smazání potomka způsobí jeho odebrání ze seznamu v rodiči [15].

Při implementaci bylo využito tohoto mechanismu uspořádáním vlastnictví objektů do stromové hierarchie podle schématu 3.1. Základní objekt `Application` vlastní všechny komponenty, které existují po celou dobu běhu aplikace, takže není třeba starat se o jejich životnost. Výjimkou jsou objekty typu `ModelItem`. Ty lze během průběhu přidávat a zase odebírat, a je úkolem `ModelHolderu`, aby je udržoval. Z praktických důvodů zahrnuje každý `ModelItem` kromě datové definice průběhu i příslušný `View`, tak aby jeho správu bylo možné provádět spolu s daty. Pouze u právě zobrazeného průběhu je vlastnictví jeho `View` předáno kontejneru `MainWindow`. Ten pak hlídá jeho navrácení modelu, pokud má dojít ke smazání.

Všechny ostatní vazby mezi objekty potřebné pro vzájemnou komunikaci jsou předávány pomocí ukazatelů, přičemž je ošetřeno buďto z principu daného výše popsanou hierarchií, nebo explicitní kontrolou, že ukazují na platný objekt.



Obrázek 3.1: Hierarchie vlastnictví objektů

## 3.2 Komunikace mezi komponentami, smyčka událostí

### 3.2.1 Smyčka událostí

Qt je, podobně jako mnoho jiných grafických frameworků, řízen smyčkou událostí. Události jako uživatelské akce, kliknutí myši nebo požadavek na překreslení okna jsou ukládány do fronty. Odtud je funkce implementující smyčku čte a vykonává je [16].

### 3.2.2 Signály a sloty

Qt používá koncept signálů a slotů pro komunikaci mezi objekty. Objekty definují signály, které emitují pokud chtějí informovat ostatní objekty o změně svého stavu. Zároveň definují sloty – funkce, které lze se signály propojit. Jde o Qt verzi implementace už zmíněného návrhového vzoru *observer* a callback funkcí. Generátor *MOC* vygeneruje před samotnou kompilací mapovací tabulku, která k signálům zajistí volání příslušných slotů [14]. Toto propojení má jednu výhodu v tom, že pokud objekt vysílající signál, patří do jiného vlákna než objekt připojeného slotu, nedojde k zavolání funkce slotu rovnou, ale přes událost zpracovávanou smyčkou událostí cílového vlákna. Tím odpadá nutnost řešit synchronizaci mezi vlákny a zamykání – volání je asynchronní [17].

### 3.2.3 Použití v aplikaci

Aplikace využívá těchto konceptů pro komunikaci mezi jednotlivými komponentami. Ovládací prvky GUI emitují signály při uživatelských akcích jako

je kliknutí na tlačítko nebo změna hodnoty ve vstupním poli. Signály jsou napojeny na sloty příslušných modelů a umožňují tak měnit jejich stav. Zároveň všechny komponenty definují sloty *Start*, *Stop*, *Pause*, *Resume*, přes které reagují na změnu stavu vykonávání programu v řídicí jednotce.

Komponenta *Communicator* má vlastní vlákno se smyčkou událostí, která zpracovává příjem a odesílání dat přes sériovou linku. S GUI vláknem, které obstarává vykreslování okna a obsluhu uživatelských akcí, komunikuje právě pomocí signálů a slotů. Jak již bylo řečeno, Qt zajišťuje synchronizaci propojení mezi dvěma vlákny, díky čemuž odpadá potřeba použití zámků.

### 3.3 Formát vstupních dat

Jedním z požadavků popsaných v části 1.3.2 je možnost načítat průběhy funkcí z textových souborů. Pro tyto soubory byla zvolena varianta textového formátu CSV<sup>5</sup> [18], který lze editovat většinou tabulkových procesorů nebo v jakémkoliv textovém editoru.

Vstupní data musí splňovat následující předpis:

```
<opakovani>;<nasobeni>
x1 ; y1
x2 ; y2
...
xn ; yn
```

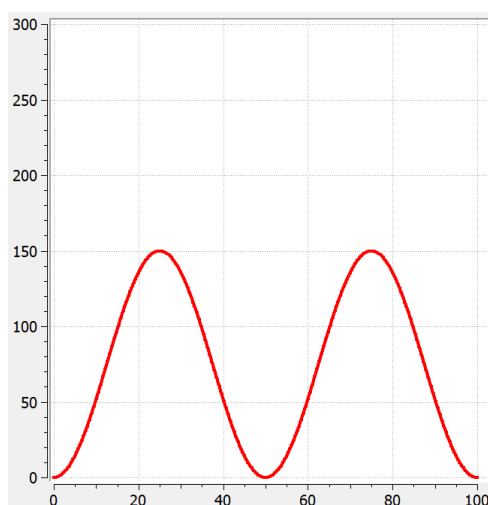
Kde *<opakovani>* a *<nasobeni>* jsou celá, kladná čísla. První z nich určuje počet opakování zadaného průběhu, druhým se násobí *y* hodnota jednotlivých bodů a lze tak měnit amplitudu periodických průběhů.

Poté následují jednotlivé body, které definují samotnou funkci. Na každém řádku je právě jeden bod, přičemž *x* a *y* jsou reálná čísla udávající čas v sekundách (*x*) a polohu motoru (*y*) jako vzdálenost od počátku v mm. Body zároveň musí tvořit rostoucí posloupnost vzhledem k souřadnici *x*.

### 3.4 Generování a editace průběhů

Aplikace obsahuje generátory tří základních průběhů – Sinusoidy, pily a lineární funkce. Každý generátor se zobrazuje ve vlastním dialogovém okně, kde lze nastavit jeho parametry.

<sup>5</sup>Comma separated values. Hodnoty oddělené čárkou.



Obrázek 3.2: Ukázka průběhu sinusoidy

### 3.4.1 Sinusoida

Tento generátor vytváří průběh podle funkce sinus. Má tři vstupní parametry. Délku  $l$ , periodu  $p$ , amplitudu  $Amp$ , ze kterých generuje  $l * f_s$  bodů podle tohoto vzorce [19]:

$$x_i = i / f_s$$

$$y_i = \frac{Amp}{2} + \sin\left(\left(2\pi f x_i\right) - \frac{\pi}{2}\right) * \frac{Amp}{2}$$

$$A_i = (x_i, y_i)$$

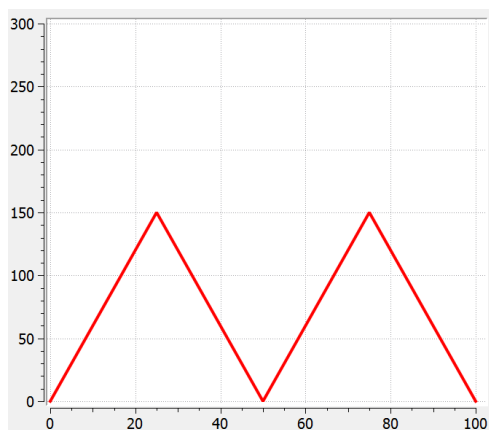
Proměnná  $f_s$  je stanovena napevno na hodnotu 100 a označuje vzorkovací frekvenci, tedy počet bodů, které připadnou na jednu sekundu. Celá křivka je posunuta o  $Amp/2$  směrem nahoru, aby se tak vykompenzovaly záporné hodnoty, kterých sinus nabývá na některých intervalech, protože pozice motoru záporná být nemůže. Zároveň dochází k fázovému posunu o  $\frac{\pi}{2}$ , díky tomu je první vygenerovaný bod  $(0,0)$ .

### 3.4.2 Pila

Pila je periodická funkce, která popisuje střídavý pohyb motoru dopředu a následně zpět do výchozí pozice lineární rychlostí.

Její generátor používá, stejně jako generátor sinusoidy, délku  $l$ , periodu  $p$  a amplitudu  $Amp$  jako vstupní parametry. Z těch vygeneruje posloupnost  $N+1$





Obrázek 3.3: Ukázka průběhu pily

bodů  $A_0, A_1 \dots A_n$ , pro které platí:

$$N = 2 * l/p$$

$$A_i = \begin{cases} (i * p/2, 0) & \text{pro } i \text{ sudé} \\ (i * p/2, Amp) & \text{pro } i \text{ liché} \end{cases}$$

Pokud je souřadnice  $x$  posledního bodu větší než  $l$ , je poslední bod  $A_n$  nahrazen bodem  $B$  pomocí rovnice lineární funkce:

$$x_1 = A_{n-1}.x$$

$$y_1 = A_{n-1}.y$$

$$y = y_1 + (A_n.y - y_1)/(A_n.x - x_1) * (l - x_1)$$

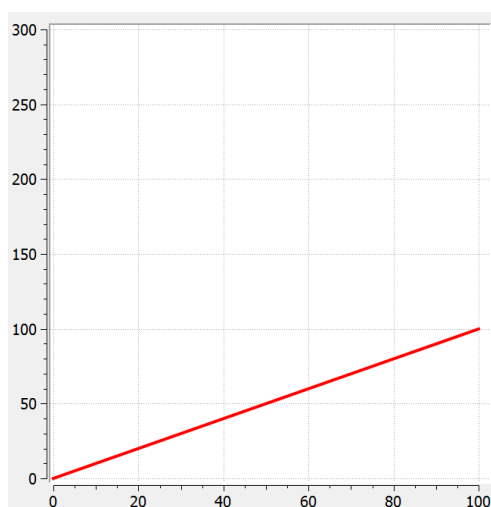
$$B = (l, y)$$

### 3.4.3 Lineární funkce

Lineární funkce představuje jednoduchý pohyb motoru pouze jedním směrem. Funkce je určena třemi parametry – délkou  $l$ , a počáteční pozicí  $y_1$  a koncovou pozicí  $y_2$ . Z těchto parametrů je generátorem vytvořen průběh funkce jako dvojice bodů  $((0, y_1), (l, y_2))$ .

### 3.4.4 Ruční zadávání instrukcí

Implementovaný překladač pracuje pouze s funkcí pohybu motoru, kterou překládá na sekvenci instrukcí `MOVE` a `WAIT`. Některé další instrukce jsou použity uvnitř aplikace v reakci na uživatelské akce, např. `RESUME` pro spuštění a `FLUSH` pro zastavení programu. Některé instrukce ale nejsou tímto způsobem



Obrázek 3.4: Ukázka lineárního průběhu

vůbec implementovány. Protože by jejich použití mohlo být někdy užitečné, existuje v aplikaci možnost zadat instrukce přímo. Slouží k tomu vlastní dialogové okno s tabulkou, do které lze instrukce zapisovat.

Instrukce lze také ukládat a načítat z textového souboru v následujícím formátu:

```
<nazev_instrukce1> op1 op2  
<nazev_instrukce2> op1 op2  
...  
<nazev_instrukceN> op1 op2
```

Op1 a Op2 jsou nepovinné hodnoty operandů zadané jako celé číslo v desítkové soustavě, <nazev\_instrukce1> je textový název instrukce podle tabulky v příloze A.

#### 3.4.5 Validace průběhů

Aby nemohla nastat situace, že motor dostane příkaz k pohybu, který nemůže vykonat, provádí se před každým spuštěním programu validace modelu, která kontroluje, zda průběh splňuje omezení dané vlastnostmi motoru. Pro každý bod průběhu validátor zkontroluje, zda je jeho souřadnice  $y$  uvnitř rozsahu intervalu pohybu  $\langle 0;300 \rangle$  mm. Zároveň pro každé dva sousední body kontroluje požadovanou rychlost, zda nepřekračuje maximální rychlost motoru.

### 3.4.6 Spojování a opakování průběhů

Jak už bylo řečeno, jednotlivé průběhy lze zadávat a upravovat odděleně. Před spuštěním programu pak kromě vygenerování kódu dojde ke spojení všech průběhů do jednoho, který se zobrazí uživateli. Průběhy jsou spojeny v pořadí, ve kterém jsou uloženy v *ModelHolderu*. To lze měnit v *FileListWidgetu* pomocí operace „táhni a pusť“.

Funkce spojení, podobně jako překladač, chápe vzdálenosti ve dvou po sobě následujících modelech průběhu jako relativní. To znamená, že všechny body modelu  $N + 1$  jsou posunuty o hodnotu posledního bodu průběhu  $N$ . Pokud není souřadnice  $y$  tohoto bodu rovna 0, aplikace na to uživatele upozorní, ale je jeho starostí, aby rozhodl, zda je to správně a případně data opravil. Zároveň platí, že pokud není první souřadnice  $y$  navazujícího úseku průběhu rovna 0, je celý tento průběh posunut směrem dolů do 0. Průběhy s opakováním se tohoto spojení účastní vícekrát. Každý takový průběh je připojen sám za sebe tolikrát, kolikrát se má opakovat. Výsledkem je tedy jeden velký model průběhu bez opakování. Celý postup je shrnut pseudokódem 3.1.

## 3.5 Překlad průběhů na instrukce

Aby bylo možné zadané průběhy spustit, je nezbytné vygenerovat z nich sekvenci instrukcí MOVE a WAIT. Jak již bylo řečeno v části 1.4.3, instrukce mají celočíselné operandy, které jsou v tomto případě vázány přímo k vlastnostem motoru, případně řídicí jednotky.

Instrukce jsou v aplikaci reprezentovány následující strukturou:

```
struct Instruction
{
    OpCode code;
    int32_t op1;
    uint32_t op2
}
```

*OpCode* je *enum* typ pro operační znak instrukce.

Překladač prochází postupně všechny body a pro každé dva následující spočítá rozdíl jejich souřadnic. Výsledkem je vzdálenost, kterou má motor urazit a doba trvání tohoto pohybu. Mohou nastat tři situace:

- Výsledná vzdálenost je kladná. Motor se bude pohybovat dopředu a vygeneruje se MOVE.
- Vzdálenost je záporná. Opět se vygeneruje MOVE a motor se pohybuje vzad.

```
MoveFunction concat(MoveFunction fn1, MoveFunction fn2)
{
    Point offset;
    Point negativeOffset;

    offset = fn1.last();
    int originalSize = fn1.size();
    for (int i = 1; i < fn1.repeats(); i++)
    {
        for (int j = 0; j < originalSize; j++)
        {
            Point pt = fn1.data[j];
            pt += offset;

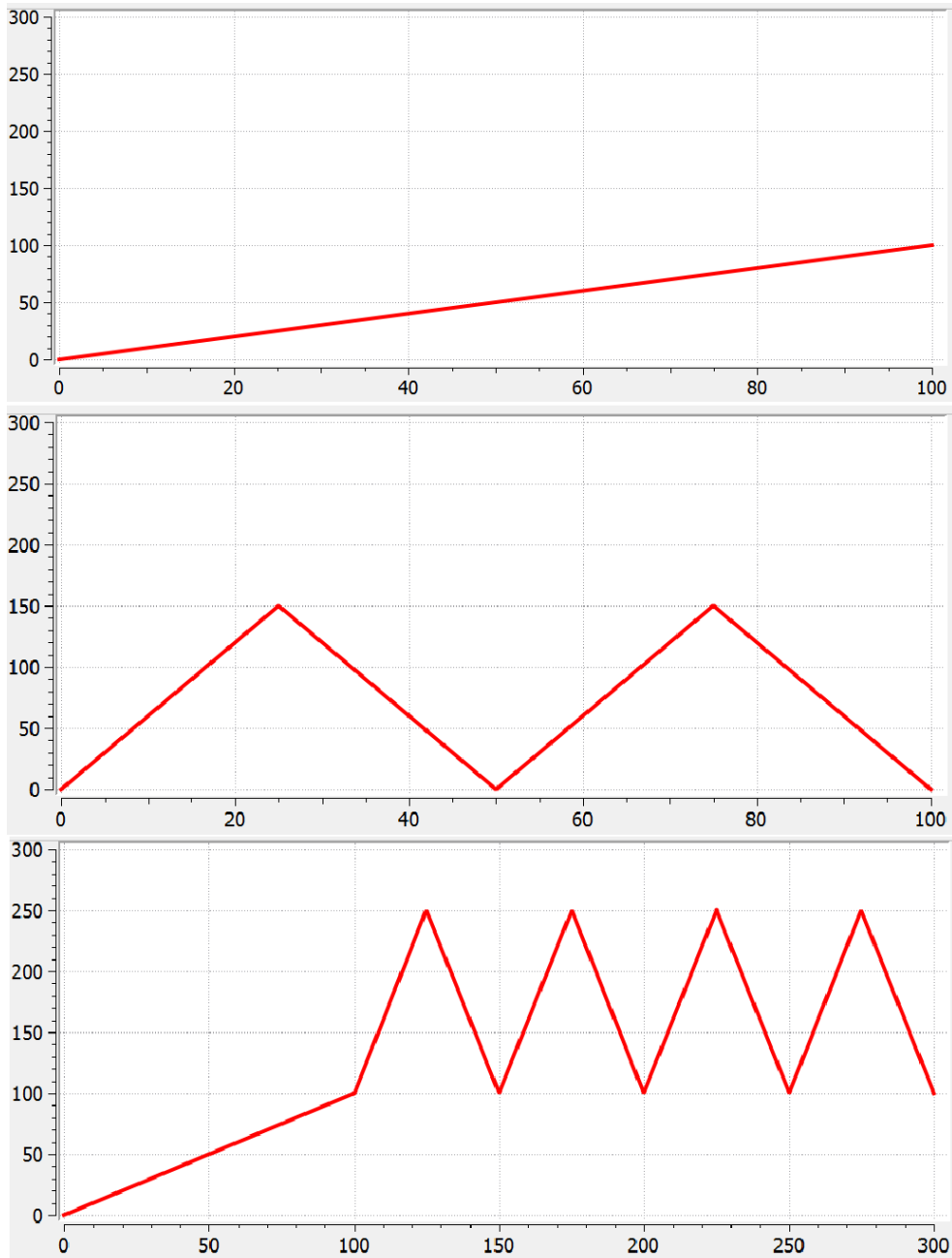
            if (fn1.size() == 0 || pt != _data.last())
                fn1.data.add(pt);
        }
        offset = fn1.data.last();
    }
    negativeOffset = Point(0, 0) - fn2.data[0];

    for (int i = 0; i < fn2.repeats(); i++)
    {
        for (int j = 0; j < fn2.size(); j++)
        {
            Point pt = fn2.data[j];
            pt += offset + negativeOffset;

            if (fn1.size() == 0 || pt != fn1.data.last())
                fn1.data.add(pt);
        }
        offset = fn1.data.last();
    }
    return fn1;
}
```

Algoritmus 3.1: Spojení dvou průběhů

### 3.5. Překlad průběhů na instrukce



Obrázek 3.5: Spojení dvou průběhů s opakováním

### 3. REALIZACE

---

- Vzdálenost je nula. Překladač generuje `WAIT`. Pokud má čas čekání přesáhnout 80 s, generuje se více `WAIT` za sebou, aby nedošlo k přetečení operandu.

Následně se vypočítají jednotlivé operandy. Vzdálenost se přepočítá na počet kroků motoru a čas na počet taktů řídicí jednotky provedených za jeden krok takto:

$$STEPSMM = 100$$

$$CLOCK = 50000000$$

$$Steps = (B.y - A.y) * STEPSMM$$

$$Time = (B.x - A.x) * CLOCK$$

Z těchto hodnot je pomocí konstruktoru vytvořena instance *Instruction* jako `Instruction(MOVE,Time/Steps,Steps)` nebo `Instruction(WAIT,Time)`.

```

List<Instruction> translate(MoveFunction fn)
{
    List<Instruction> ins;
    STEPS_PER_MM = 100;
    CLOCK = 50000000;
    MAX_DISTANCE = 300;

    for(auto i = 0; i < fn.size()-1; i++)
    {
        Point a = fn.at(i);
        Point b = fn.at(i+1);

        if (b.y > Engine::MAX_DISTANCE || b.y < 0)
            throw Exception;

        Float time = b.x - a.x;
        Integer ay = (a.y * STEPS_PER_MM);
        Integer by = (b.y * STEPS_PER_MM);

        Integer steps = by - ay;
        if (steps == 0)
        {
            List<Instruction> ret = generateWaits(time);
            ins.concat(ret);
        }
        else
        {
            Integer interval = time * CLOCK / abs(steps);
            ins.add(Instruction(MOVE, interval, steps));
        }
    }

    return ins;
}

```

Algoritmus 3.2: Překlad na instrukce

### 3.5.1 Spouštění programů

Spuštění zadaného průběhu je realizováno v několika krocích. Nejprve se spojí jednotlivé průběhy v pořadí, jaké mají v *ModelHolderu*. Výsledný průběh je poté zvalidován a pokud nesplňuje podmínky uvedené v části 3.4.5, spuštění

### 3. REALIZACE

---

```
List<Instruction> generateWaits(Float time)
{
List<Instruction> ins;
Integer MAX_SEC = 80;
Integer CLOCK = 50000000;

Integer steps = time / MAX_SEC;

for(int i = 0; i < steps; i++)
    ins.add(Instruction(WAIT, CLOCK*MAX_SEC));

Float resttime = time - steps * MAX_SEC;
ins.add(Instruction(WAIT, CLOCK*resttime));

return ins;
}
```

Algoritmus 3.3: Generování WAIT

se zastaví a uživatel dostane příslušnou chybovou hlášku. V opačném případě komponenta *Program* zavolá na každý model kompilátor, který vygeneruje potřebné instrukce. Toto generování neprobíhá ze spojeného průběhu, protože jsou do něj zahrnuty i modely, které byly vytvořeny přímým zadáním instrukcí a nemusí tedy obsahovat instrukce pro pohyb.

Poté je aktivován *Communicator*, který si vyžádá od *Programu* prvních 384 instrukcí, které odešle řídicí jednotce. Následně se odešle ještě RESUME<sup>6</sup>. Jakmile je přijata odpověď a potvrzeno spuštění motoru, aktivuje se *Timer*, který s intervalem 500 ms přepočítává odhadovanou polohu a rychlost motoru. Poté už probíhá normální komunikace.

## 3.6 Komunikace s řídicí jednotkou

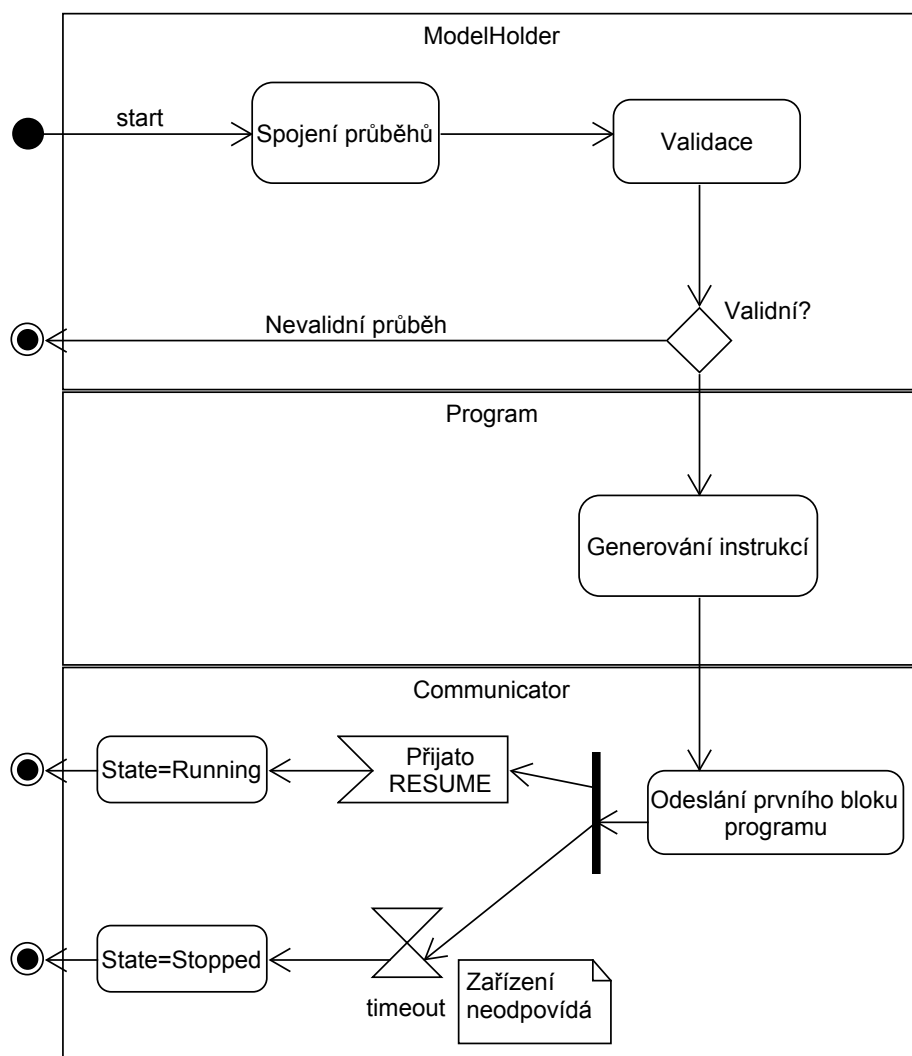
### 3.6.1 Knihovna QSerialPort

Pro implementaci komunikace byla použita knihovna QSerialPort, která je součástí Qt. Její stejnojmenná hlavní třída umožňuje čtení a zápis na vybraném portu v blokujícím a neblokujícím režimu [20]. Při blokujícím režimu je volající vlákno při čtení zablokováno dokud, se na portu neobjeví data, nebo dokud nevyprší zadaný čas. Tento režim tedy nelze použít v hlavním vlákně aplikace, protože by to znamenalo zablokování uživatelských akcí a GUI. Na-

---

<sup>6</sup>Resume se odesílá vždy jako poslední aby nebyla prázdná fronta při spuštění motoru.





Obrázek 3.6: Diagram procesu spuštění programu

opak při neblokujícím režimu se využívá smyčky událostí Qt a signálů a k nim připojených slotů, které se volají pouze, pokud je co číst.

### 3.6.2 Communicator

Komponenta Communicator se stará o komunikaci mezi řídicí jednotkou a aplikací. Tu realizuje pomocí objektu třídy *QSerialPort* s neblokujícím voláním. Aby nebyla komunikace případně zdržována obsluhou GUI akcí, má Communicator vlastní vlákno se smyčkou událostí. Ty jsou obsluhovány objektem třídy *CommWorker*. Obsluha těchto událostí se liší v závislosti na stavech, které jsou popsány dále.

### 3.6.3 Komunikační stavy

Komunikace mezi aplikací a řídicí jednotkou je řízena stavovým automatem, který je znázorněn diagramem na obrázku 3.7. Jednotlivé stavy definují chování aplikace vzhledem k událostem, které generuje řídicí jednotka a nebo vzhledem k uživatelským vstupům. Zároveň poskytují zpětnou vazbu skrz uživatelské rozhraní.

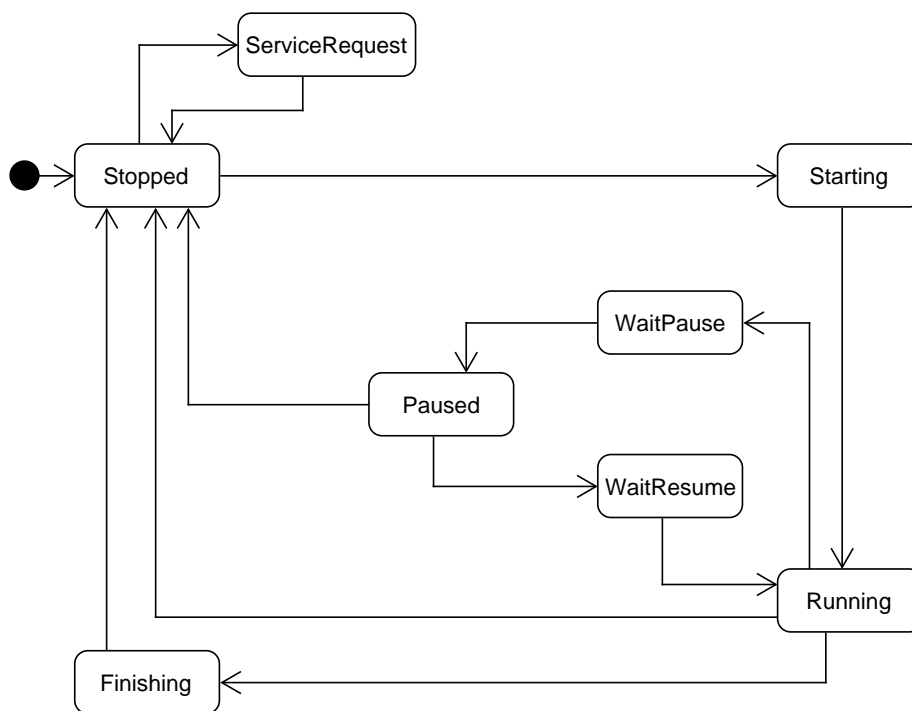
### 3.6.4 Hlavní stavy

Stavy **Stopped**, **Paused**, **Running** a **ServiceRequest** reprezentují stav motoru a řídicí jednotky.

**Stopped** představuje stav, při kterém neprobíhá žádná komunikace s řídicí jednotkou, její instrukční fronta je prázdná a tím pádem i samotný motor stojí. V tomto stavu se aplikace nachází po svém spuštění nebo poté, kdy uživatel zmáčkne tlačítko stop.

**Running** V tomto stavu probíhá komunikace s řídicí jednotkou, která vykonává zadaný program a motor běží. Aplikace reaguje na události generované řídicí jednotkou a postupně odesílá jednotlivé bloky instrukcí. Po odeslání všech instrukcí přejde aplikace do stavu **Finishing**. Stisknutí tlačítka Pauza způsobí přechod do stavu **WaitPause** a stisknutím tlačítka Stop přejde aplikace do stavu **Stopped**.

**Paused** Během tohoto stavu motor stojí, ale instrukční fronta není prázdná. Poté, kdy uživatel stiskne tlačítko Pokračovat, vrátí se aplikace odesláním instrukce **RESUME** přes stav **WaitResume** do stavu **Running**, motor se uvede do chodu a řídicí jednotka pokračuje ve vykonávání programu od místa, ve kterém byla zastavena.



Obrázek 3.7: Diagram stavů komunikace

**ServiceRequest** Tento stav představuje zkratku cyklu **Stopped - Starting - Running - Finishing - Stopped** s tím rozdílem, že řídicí jednotka nevykonává žádné instrukce pro pohyb motoru. Místo toho je jednotce odeslána následující posloupnost instrukcí:

```

<Instrukce>
STATUS_REQUEST
RESUME
  
```

Kde **<Instrukce>** představuje jednu z instrukcí, které nastavují parametry řídicí jednotky a motoru. Po přijetí odpovědi na **STATUS\_REQUEST** se odešle ještě **FLUSH** a aplikace přejde zpět do stavu **Stopped**.

### 3.6.5 Přechodné stavy

Přechodné stavy představují situace, které nastanou většinou po nějaké uživatelské akci. Typicky například spuštění nebo pauza programu. Aplikace odešle příslušné instrukce řídicí jednotce a následně čeká v přechodném stavu na

### 3. REALIZACE

---

odpověď. Její přijetí znamená potvrzení, že jednotka vykonala danou instrukci a následuje přepnutí do jednoho z hlavních stavů.

**Starting** Po spojení s řídicí jednotkou je odeslán první blok instrukcí a následně instrukce **RESUME**. Jakmile aplikace přijme odpověď, přejde odsud do stavu **Running**.

**Finishing** Pokud aplikace obdrží od řídicí jednotky událost **NEXT\_256** a nemá už dostatek instrukcí k odeslání, znamená to, že program bude dokončen. Odešle proto ještě instrukci **ECHO** a přepne se do stavu **Finishing**. Během něj čeká na odpověď této instrukce, která znamená dokončení programu. Následně odesílá **FLUSH** a přechází do stavu **Stopped**.

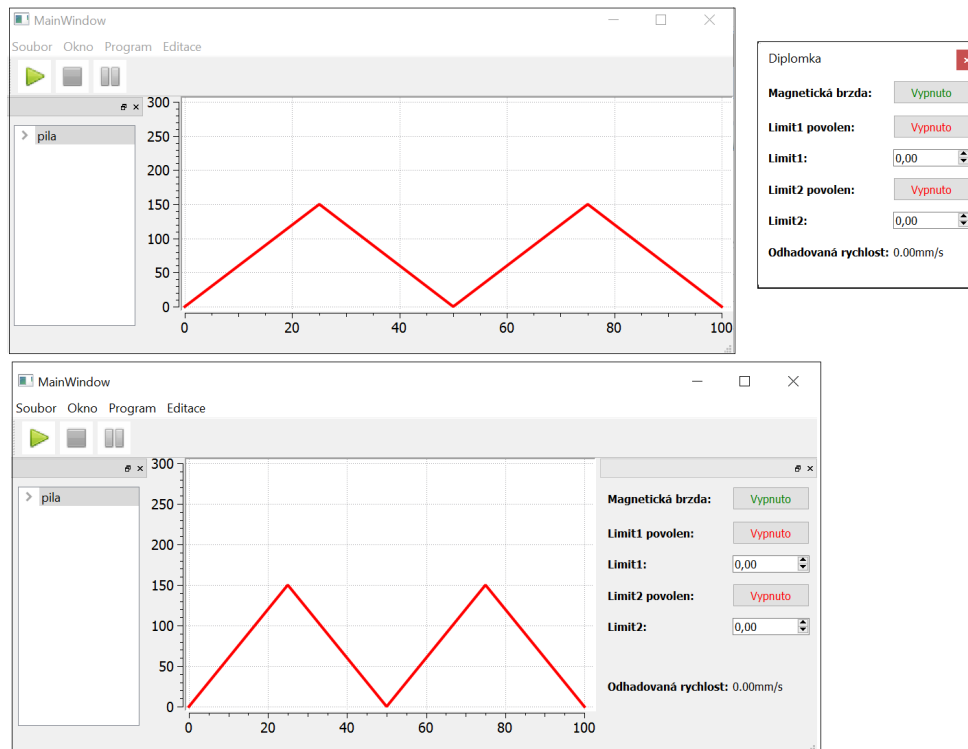
**WaitPause** Tento stav tvoří přechod mezi stavem **Running** a **Pause**. Aplikace odešle řídicí jednotce instrukci **HALT** a čeká na potvrzovací odpověď. Poté se přepne do stavu **Paused**.

**WaitResume** je opakem stavu **WaitPause** a tvoří tedy přechod mezi **Pause** a **Running**. Aplikace zde čeká na odpověď instrukce **RESUME**.

## 3.7 View

### 3.7.1 Hlavní okno

Rozložení hlavního okna se prakticky neliší od návrhu na obrázku 2.5. Jediným rozdílem je využití Qt kontejneru jménem *QDockWidget* pro umístění jednotlivých widgetů. Jeho použití umožňuje variabilitu uživatelského rozhraní podle potřeby uživatele. S *QDockWidgetem* lze volně pohybovat pomocí myši, ukotvit ho k jednomu z okrajů hlavního okna, nebo ho nechat zobrazit jako samostatné okno [21].



Obrázek 3.8: Použití QDockWidgetu

### 3.7.2 PlotWidget

Graf průběhu funkce zobrazený v centrální části hlavního okna. Je vytvořen s použitím knihovny Qwt. Jde o externí knihovnu, která není součástí hlavní distribuce Qt a je mimo jiné určena pro tvorbu 2D grafů [22].

### 3.7.3 Informace o běžícím průběhu

Pokud je řídicí jednotka aktivní, zobrazuje se v okně aplikace kromě grafu průběhu i odhadovaná pozice a rychlost motoru. Obě tyto hodnoty jsou počítány lokálně vzhledem k nemožnosti získat přesné údaje z jednotky. Aktualizace těchto hodnot se provádí vždy jednou za sekundu na základě události vygenerované objektem třídy *QTimer*. Aktuální poloha je potom zobrazena jako svislá čára v grafu průběhu. Odhadovaná rychlost se zobrazuje v panelu *EngineStatusWidget*

```
Double speedAt(MoveFunction fn, Double time)
{
  if (fn.size()==0 || time<fn.data[0].x
      || time >= fn.data.last().x)
    return 0;

  Integer mid = fn.lastSpeedIndex;
  Integer max = fn.size();
  Integer min = 0;

  if (fn.data[mid].x >= time && time < fn.data[mid+1].x)
    speedBetween(fn.data[mid], fn.data[mid+1])

  while (min <= max)
  {
    if (fn.data[i].x < time)
      min = mid + 1;
    else
      max = mid - 1;
    i = (min + max) / 2;
  }
  if (max < 0)
    max = min;

  fn.lastSpeedIndex = min;

  return speedBetween(fn.data[min], fn.data[max]);
}
```

Algoritmus 3.4: Algoritmus výpočtu rychlosti

### 3.7.4 Odhad rychlosti

Odhad rychlosti se provádí metodou *speedAt(time)* třídy *MoveFunction*, jejíž instance tvoří model průběhu. Metoda vyhledá dva body, jejichž souřadnice  $x$  se nejvíce blíží hodnotě parametru *time* a následně spočítá rychlost mezi nimi. Protože se předpokládá, že metoda bude volána opakovaně s pravidelným intervalem, pamatuje si *MoveFunction* poslední vrácený index. Je totiž pravděpodobné, že při dalším volání se budou odpovídající body nacházet na následujícím indexu. Pokud tomu tak není, je použit upravený algoritmus binárního vyhledávání [23], který vrací dva nejbližší body.

---

# Testování

Pro ověření fungování aplikace byla navržena série testů s různou úrovní závislosti na spolupráci s řídicí jednotkou a motorem. Nejprve se začalo s jednoduchými jednotkovými testy překladače a editoru průběhů, po kterých následovalo testování správné implementace komunikace po sériovém portu. Jako poslední přišel test s řídicí jednotkou.

## 4.1 Test překladače a editoru

K prvotnímu otestování posloužilo několik testovacích scénářů, které lze provést bez nutnosti komunikace se zařízením.

- Test načítání a ukládání – testuje implementaci funkcí pro čtení a zápis průběhů do souboru. Zdrojový a výsledný soubor se musí pro jeden průběh shodovat.
- Test generování instrukcí – instrukce vygenerované ze zadaného souboru musí odpovídat zadanému vzoru.
- Test instrukce WAIT – testuje zda čekání delší než 80 s vygeneruje více WAIT instrukcí.
- Test spojení průběhů – testuje spojení dvou průběhů oproti předem zadanému výsledku.

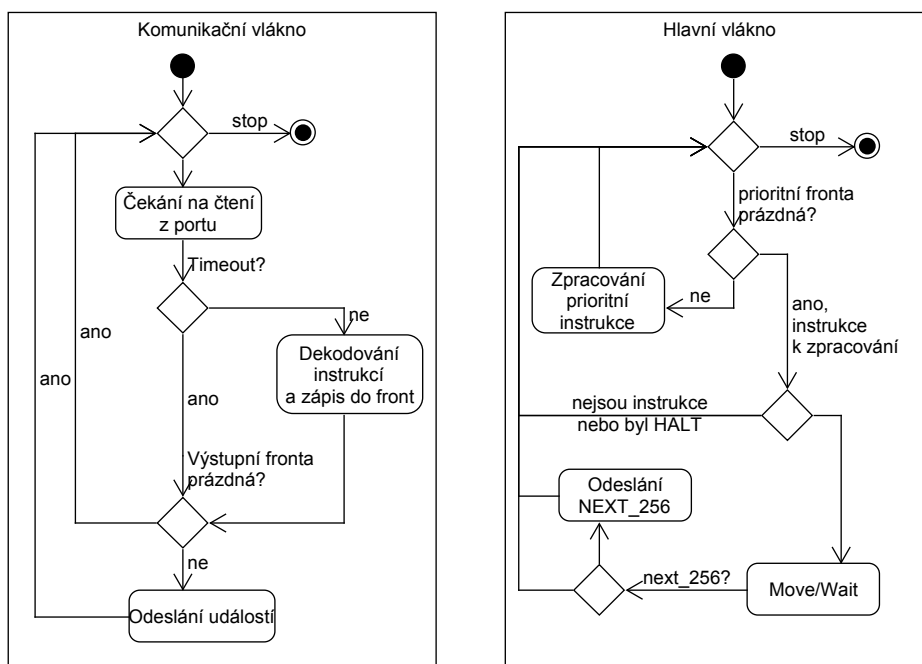
## 4.2 Softwarová simulace

Jako podpora testování byl vytvořen softwarový simulátor řídicí jednotky a motoru. Ten byl použit k otestování správné implementace komunikace pomocí sériového portu a vyladění aplikace před testováním s reálným hardwarem, nebo k testům ve chvílích, kdy nebyl hardware k dispozici.

### 4.2.1 Popis simulátoru

Simulátor je v Qt napsaná konzolová aplikace a funguje odděleně od hlavního programu. Při spuštění očekává jako parametr název sériového portu. Svou činnost zaznamenává na standardní výstup. K jeho použití je nutné mít dva vzájemně propojené UART převodníky zapojené do USB portů počítače.

Simulátor funguje na principu producent-konzument [24]. Tento princip spočívá ve spolupráci dvou vláken, kdy jedno, "producent", zapisuje data do zásobníku/fronty a druhé, "konzument", je čte. V tomto případě hlavní vlákno programu jakožto konzument simuluje instrukční cyklus řídicí jednotky. Druhé, komunikační vlákno poslouchá na sériovém portu, čte a dekoduje z něj data. Vlákna spolu komunikují prostřednictvím čtení a zápisu do tří front. Dvě z nich slouží jako instrukční fronty rozdělené pro prioritní a neprioritní instrukce. Třetí je výstupní fronta, do které se zapisují události a odezvy instrukcí, které poté komunikační vlákno odesílá sériovým portem. Přístup k frontám je chráněn mutexy.



Obrázek 4.1: Schéma činnosti simulátoru

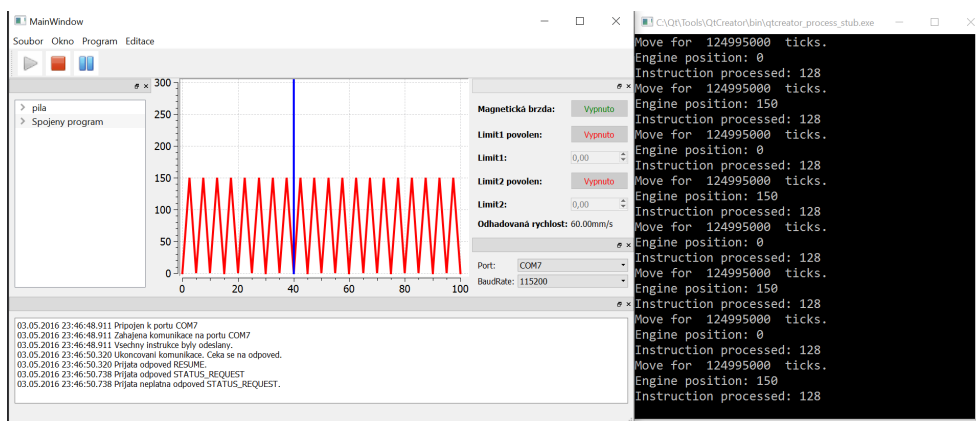
Protože hlavní vlákno funguje jako simulátor řídicí jednotky, nedochází k jeho uspání pokud je fronta prázdná. Namísto toho pouze projde IDLE sta-



vem instrukčního cyklu. Tím pádem nemusí řešit problém uvážnutí producenta a konzumenta [24].

V simulátoru jsou naimplementovány pouze základní instrukce MOVE, WAIT, HALT, RESUME, FLUSH, BREAK\_EN, BREAK\_DIS, jejich příslušné odpovědi a události NEXT\_256 a QUEUE\_OVERLOADED.

Doba vykonávání instrukcí v simulátoru neodpovídá přesně specifikaci řídicí jednotky. K simulaci MOVE, WAIT je použito volání funkce *sleep\_for* [25] s argumentem doby uspání v nanosekundách, nicméně skutečná délka uspání vlákna je závislá na rozlišení časových intervalů plánovače operačního systému. U běžných desktopových OS a obzvláště Windows je tento interval řádově větší [26]. Vykonání většiny instrukcí simulátorem tedy trvá déle než ve skutečnosti. Na druhou stranu se jeho výstup dá lépe sledovat za běhu.



Obrázek 4.2: Testování aplikace se simulátorem

### 4.3 Test s hardwarem

Protože se s Fakultou strojní ČVUT nepodařil domluvit přístup do laboratoří, nebylo možné provést test reálného pohybu motoru. Tento test tedy proběhl pouze s řídicí jednotkou implementovanou na FPGA čipu Spartan 3.

S ohledem na absenci motoru bylo nutné pozměnit test instrukcí MOVE a WAIT a zaměřit se hlavně na testování ovládání řídicí jednotky, tedy na práci s instrukcemi jako STATUS\_REQUEST, SET\_LIMIT\_1, EN\_LIMIT\_1 a dalšími, které nejsou implementovány v simulátoru.

### 4.4 Výsledky testů

#### 4.4.1 Zjištěné problémy

**Překrývání operačních kódů** Během testů se simulátorem a řídicí jednotkou se zjistilo, že návratové hodnoty některých instrukcí v tabulce 1.3 se překrývají s kódy událostí 1.5. To způsobovalo problém v komunikačním cyklu, kdy namísto na očekávané odpovědi instrukcí, reagovala aplikace na událost se stejným operačním kódem.

**Zamrznutí Communicatoru** Při testu ovládní magnetické brzdy a nastavení limit docházelo v některých případech k zamrznutí Communicatoru ve stavu `ServiceRequest`. Příčinou byl rozdíl v rychlosti vykonávání instrukcí, komunikace po sériové lince a zpracování přijatých dat. Výsledkem bylo přijetí několika odpovědí naráz, s čímž implementace jejich zpracování *Communicatorem* nepočítala.

#### 4.4.2 Změny implementace na základě testů

**Oprava operačních kódů** Po konzultaci s vedoucím práce se ukázalo, že překrývání operačních kódů v tabulkách 1.3 a 1.5 je pouze chyba v textu původní práce a v řídicí jednotce jsou tyto kódy naimplementovány správně. Následně se podařilo získat jejich správnou definici a provést příslušné opravy v aplikaci i simulátoru. Správné kódy všech odpovědí jsou v tabulkách přílohy B.

**Úprava Communicatoru** Zpracování přijatých událostí bylo upraveno tak, aby *Communicator* kontroloval a zpracovával všechny přijaté bajty.

---

## Závěr

Tato práce měla za cíl zanalyzovat chování řídicí jednotky lineárního motoru a na základě této analýzy navrhnout a implementovat desktopovou obslužnou grafickou aplikaci, která by pro jednotku umožnila zadávat a spouštět uživatelské programy bez potřeby hlubší znalosti instrukční sady řídicí jednotky.

Výsledkem je aplikace napsaná pomocí C++ frameworku Qt. Je navržena na základě Qt modifikace návrhového vzoru MVC zvané Model-View, která odděluje data a logiku od zobrazení. Aplikace umožňuje zadávat a spouštět pohyby motoru pomocí textových souborů s definicí funkce pohybu v podobě jednotlivých bodů. Zároveň umožňuje generovat jednoduché průběhy přímo, zadáním několika základních parametrů. Zadané průběhy lze modifikovat a spojovat do větších celků. Pomocí knihovny Qwt je pak realizováno zobrazení jednotlivých pohybových funkcí v podobě planárního grafu závislosti polohy a času. Aplikace také zobrazuje některé parametry řídicího motoru a jednotky a umožňuje jejich nastavení. K tomu využívá vnitřní překladač, který generuje požadované bloky instrukcí.

S řídicí jednotkou komunikuje aplikace pomocí sériového portu. Obsluha této komunikace je realizována na základě stavového automatu v odděleném aplikačním vláknu, takže se neovlivňuje s událostmi uživatelského rozhraní.

Výslednou aplikaci se podařilo otestovat na základě několika jednotkových testů a také oproti simulátoru řídicí jednotky, který vznikl jako doplňková konzolová aplikace a implementuje pouze základní instrukce. Dále proběhlo testování spolupráce přímo s řídicí jednotkou na FPGA čipu Spartan 3. Bohužel se nepodařilo zajistit spolupráci s Fakultou strojní a otestovat fungování aplikace přímo s motorem v reálném provozu.

Toto testování je tedy dalším logickým krokem pro rozvoj aplikace. Pokud se ho podaří realizovat, lze uvažovat o jejím dalším rozšíření. Nabízí se například

## ZÁVĚR

---

možnost vytváření složitějších modelů přímo, vylepšení paměťové náročnosti pomocí vnitřní komprese, nebo zobrazení doplňkových dat z uživatelských vstupů a dalších připojených čidel.

---

# Literatura

- [1] Bartík, M.: *Návrh a vývoj pokročilé řídicí jednotky lineárního motoru pro přesná laboratorní měření v biomechanice*. Diplomová práce, ČVUT FIT, 2014.
- [2] Motor, O.: Motorized Cylinders EZ Limo EZCII Series. online.
- [3] Axelson, J.: *Serial Port Complete: COM Ports, USB Virtual COM Ports, and Ports for Embedded Systems*. Lakeview Research, druhé vydání, 2007.
- [4] TIOBE Index. duben 2016. Dostupné z: [http://www.tiobe.com/tiobe\\_index](http://www.tiobe.com/tiobe_index)
- [5] Java Communications API. 2016. Dostupné z: <http://www.oracle.com/technetwork/java/index-jsp-141752.html>
- [6] Serial Port - class. duben 2016. Dostupné z: [https://msdn.microsoft.com/cs-cz/library/system.io.ports.serialport\(v=vs.110\).aspx](https://msdn.microsoft.com/cs-cz/library/system.io.ports.serialport(v=vs.110).aspx)
- [7] Boost C++ Libraries. 2016. Dostupné z: <http://www.boost.org/>
- [8] Boost Software License. 2016. Dostupné z: <http://www.boost.org/users/license.html>
- [9] Overview - wxWidgets. 2016. Dostupné z: <http://wxwidgets.org/about/>
- [10] About Qt. duben 2016. Dostupné z: [https://wiki.qt.io/About\\_Qt](https://wiki.qt.io/About_Qt)
- [11] Using the Meta-Object Compiler (moc). 2016. Dostupné z: <http://doc.qt.io/qt-5/moc.html>
- [12] Erich Gamma, R. J. J. V., Richard Helm: *Design patterns: elements of reusable object-oriented software*. Boston, MA, USA: Addison-Wesley Longman Publishing Co., Inc., 1995.

- [13] Model/View Programming. duben 2016. Dostupné z: <http://doc.qt.io/qt-5/model-view-programming.html>
- [14] Signals & Slots. duben 2016. Dostupné z: <http://doc.qt.io/qt-5.6/signalsandslots.html>
- [15] Object Trees & Ownership. 2016. Dostupné z: <http://doc.qt.io/qt-5/objecttrees.html>
- [16] Threads Events QObjects. duben 2016. Dostupné z: [https://wiki.qt.io/Threads\\_Events\\_QObjects](https://wiki.qt.io/Threads_Events_QObjects)
- [17] Qt Namespace. duben 2016. Dostupné z: <http://doc.qt.io/qt-5.6/qt.html>
- [18] Shafranovich, Y.: RFC: Common Format and MIME Type for Comma-Separated Values (CSV) Files. říjen 2005. Dostupné z: <https://tools.ietf.org/html/rfc4180>
- [19] Mathworks: Sine Wave. Dostupné z: <http://www.mathworks.com/help/simulink/slref/sinewave.html>
- [20] QSerialPort Class. 2016. Dostupné z: <http://doc.qt.io/qt-5/qserialport.html>
- [21] QDockWidget Class. duben 2016. Dostupné z: <http://doc.qt.io/qt-5/qdockwidget.html>
- [22] Qwt - Qt Widgets for Technical Applications. duben 2016. Dostupné z: <http://qwt.sourceforge.net/index.html>
- [23] Lehmer, D.: Teaching combinatorial tricks to a computer. *Proceedings of Symposia in Applied Mathematics*, ročník 10, 1960.
- [24] Dijkstra, E. W.: Information streams sharing a finite buffer. *Information Processing Letters*, ročník 1, 1972: s. 170–180.
- [25] sleep\_for - C++ Reference. duben 2016. Dostupné z: [http://www.cplusplus.com/reference/thread/thread/sleep\\_for/](http://www.cplusplus.com/reference/thread/thread/sleep_for/)
- [26] Lentfer, A.: Microsecond Resolution Time Services for Windows. duben 2016. Dostupné z: <http://www.windowstimestamp.com/description>

# **Instrukční sada řídicí jednotky**

A. INSTRUKČNÍ SADA ŘÍDÍCÍ JEDNOTKY

Instrukční soubor hardwarové části řídicího systému					
Instrukce	Slovní popis	Binární reprezentace	Operand č.1	Operand č.2	Prioritní
NOP	Prázdná instrukce	0000 0000	Není	Není	Ne
MOVE_WAIT	Čekání mezi instrukcemi	1000 0001	Délka čekání v hodinových taktech	Není	Ne
MOVE	Pohyb motoru	1000 0000	Interval mezi 2 kroky motoru	Poček kroků motoru	Ne
HALT	Zastavení činnosti	0000 0001	Není	Není	Ano
FLUSH	Zastavení činnost a vymazání prováděného programu	0000 0011	Není	Není	Ano
RESUME	Zahájení/obnovení činnosti	0000 0010	Není	Není	Ano
RESETCMD	Restart celé řídicí jednotky	0000 0100	Není	Není	Ano
SET_POS	Nastavení výchozí pozice	0100 0000	Výchozí pozice	Není	Ne
READ_POS	Přečtení pozice	0100 0001	Není	Není	Ne
READ_R_POS	Přečtení pozice získané z kvadraturního enkodéru	0100 0010	Není	Není	Ne
SET_LIMIT_1	Ohraničení dovoleného prostoru	0001 0000	Hranice prostoru	Není	Ne
DISEN_LIMIT_1	Vypnutí první hranice	0001 0001	Není	Není	Ne
EN_LIMIT_1	Zapnutí první hranice	0001 0010	Není	Není	Ne
SET_LIMIT_2	Ohraničení dovoleného prostoru	0001 0011	Hranice prostoru	Není	Ne
DISEN_LIMIT_2	Vypnutí první hranice	0001 0100	Není	Není	Ne
EN_LIMIT_2	Zapnutí první hranice	0001 0101	Není	Není	Ne
BRAKE_EN	Aktivace magnetické brzdy	0001 0110	Není	Není	Ne
BRAKE_DIS	Deaktivace magnetické brzdy	0001 0111	Není	Není	Ne
READ_TIME	Přečtení času jednotky	0010 0001	Není	Není	Ne



---

Instrukce	Slovní popis	Binární reprezentace	Operand č.1	Operand č.2	Prioritní
SET_TIME	Nastavení času jednotky	0010 0000	Výchozí čas	Není	Ne
STATUS_REQ	Žádost o stavové informace	0001 1000	Není	Není	Ne
ECHO	Odpověď zařízení	1100 0011	Není	Není	Ne
RELAY1_DOWN	Rozepnutí relé 1	1110 0000	Není	Není	Ne
RELAY1_UP	Sepnutí relé 1	1110 0001	Není	Není	Ne
RELAY2_DOWN	Rozepnutí relé 2	1110 0010	Není	Není	Ne
RELAY2_UP	Sepnutí relé 2	1110 0011	Není	Není	Ne
ALARM_CLEAR	Vymazání alarmu na řídicí jednotce ESMC-C2	1010 0101	Není	Není	Ne

Tabulka A.1: Instrukční sada řídicí jednotky.



## Odpovědi vysílané řídicí jednotkou

Odezvy instrukcí generované řídicí jednotkou			
Instrukce generující odezvu	Binární reprezentace odezvy – hlavička	Délka odezvy	Význam předávané hodnoty
HALT	1101 0001	1 B	Není
FLUSH	1101 0011	1 B	Není
RESUME	1101 0010	1 B	Není
READ_POS	0010 0101	5 B	Pozice motoru
READ_R_POS	0001 0101	5 B	Pozice získaná z kvadraturního enkodéru
READ_TIME	0100 0101	5 B	Času jednotky
BRAKE_EN	1111 0110	1 B	Není
BRAKE_DIS	1111 0111	1 B	Není
STATUS_REQ	1010 0100	4 B	Stavové informace, struktura odpovědi – tabulka 1.4
ECHO	1100 0011	1 B	Není
RELAY1_DOWN	1110 0000	1 B	Není
RELAY1_UP	1110 0001	1 B	Není
RELAY2_DOWN	1110 0010	1 B	Není
RELAY2_UP	1110 0011	1 B	Není
ALARM_CLEAR	0101 1010	1 B	Není

Tabulka B.1: Odezvy instrukcí generované řídicí jednotkou

## B. ODPOVĚDI VYSÍLANÉ ŘÍDÍCÍ JEDNOTKOU

---

<b>Odezvy generované událostí řídicí jednotky</b>		
Událost generující odezvu	Binární reprezentace odezvy – hlavička	Délka odezvy
WATCHDOG	1010 1010	1 B
QUEUE_OVERLOADED	0011 1100	1 B
NEXT_256	1111 1001	1 B
REACHED_L1	1001 0001	1 B
REACHED_L2	1011 0001	1 B
BRAKE_MANUAL	0010 0101	1 B
ALARM	1010 0101	1 B

Tabulka B.2: Odezvy událostí generované řídicí jednotkou

## Seznam použitých zkratek

CSV Comma Separated Values

FPGA Field Programmable Gate Array

GUI Graphical User Interface

MOC Meta Object Compiler – nástroj Qt pro generování kódu

MVC Model-View-Controller – návrhový vzor

UART Universal Asynchronous Receiver/Transmitter

USB Universal Serial Bus



---

## Instalační příručka

### Potřebné softwarové knihovny

- Qt 5.5
- Qwt 6.1.2

**Spuštění** Ve složce exe se nachází zkompilevané binární soubory aplikace i simulátoru pro Windows x64. Pro spuštění stačí nakopírovat všechny soubory do cílového adresáře a spustit příslušný exe soubor. Simulátor lze spustit z příkazové řádky s parametrem nazvu portu. Obě aplikace včetně příložených knihoven byly zkompilevány pomocí kompilátoru MSVC 2013 a otestovány na Windows 10.

**Kompilace** Na CD se nacházejí i zdrojové kódy frameworku Qt 5.5 a knihovny Qwt 6.1.2. Součástí zdrojových kódů jsou i projektové soubory pro Visual Studio 2013 respektive QtCreator.





---

## Obsah přiloženého CD

readme.txt.....	stručný popis obsahu CD
exe .....	adresář se spustitelnou formou implementace
├─ app.....	binární soubory aplikace
└─ simulator .....	binární soubory simulátoru
src	
├─ impl.....	zdrojové kódy implementace
├─ app .....	zdrojové kódy aplikace
├─ simulator .....	zdrojové kódy simulátoru
├─ lib.....	zdrojové kódy použitých knihoven
├─ thesis .....	zdrojová forma práce ve formátu $\text{L}^{\text{A}}\text{T}_{\text{E}}\text{X}$
text .....	text práce
└─ thesis.pdf .....	text práce ve formátu PDF